

بِسْمِ اللّٰهِ الرَّحْمٰنِ الرَّحِيْمِ

بسمه تعالی

وزارت علوم، تحقیقات و فناوری

دانشگاه پیام نور

طرح پژوهشی در قالب اعتبار گرفت

بررسی پتانسیل های اقتصادی اسکارنهای جنوب شرق الیگودرز

مجری طرح:

فریماه آیینی

استادیار - گروه زمین شناسی - دانشگاه پیام نور

خاتمه طرح: دی ماه ۱۳۹۵

کلیه حقوق و مزایای مادی و معنوی طرح متعلق به دانشگاه پیام نور می باشد

فهرست:

۴	چکیده
فصل اول	
۶	مقدمه
۶	موقعیت جغرافیایی منطقه
۷	موقعیت زمین شناسی منطقه
	تاریخچه
۸	مطالعاتی
۸	روش تحقیق
فصل دوم	
۱۰	مقدمه
۱۱	زمین شناسی پهنه سندج- سیرجان
۱۴	زمین ساخت پهنه سندج- سیرجان
۱۵	چینه شناسی پهنه سندج- سیرجان
۱۶	دگرگونی پهنه سندج- سیرجان
۱۷	سنگ های نفوذی پهنه سندج- سیرجان
۱۸	توان معدنی پهنه سندج- سیرجان
۱۹	چینه شناسی و زمین ساخت منطقه
فصل سوم	
	تقسیم بندی
۲۵	اسکارن
۲۶	جایگاه زمین ساختی اسکارن ها
۲۹	مدل تشکیل کانسارهای اسکارن
۳۲	اندازه و عیار کانسارهای اسکارن
۳۴	واکنش های دگرگونی
۴۴	مقایسه ژئوشیمیایی گرانیت‌های جنوب شرق الیگودرز با سایر گرانیت‌های اسکارنی جهان
۴۸	مقایسه عناصر جزئی
فصل چهارم	
۵۲	نتیجه گیری
۵۳	منابع

اسکارنهای جنوب شرق الیگودرز از دیدگاه تقسیمات زمین شناختی و ساختاری ایران جزئی از زون ساختمانی سنندج سیرجان می باشد. ترکیب سنگ شناختی توده های نفوذی منطقه شامل گرانیت پورفیری، گرانودیوریت و گابرو-دیوریت است. گرانیتوئیدهای منطقه مربوط به محیط ژئوتکنیکی بعد از کوهزایی و همزمان با برخورد می باشند. این توده گرانیتوئیدی سنگ های آهکی میزبان به سن پالئوزوئیک را قطع نموده و منجر به تشکیل مرمر-اسکارن و هورنفلس با رخداد محدود در منطقه شده است. بر اساس مطالعات صحرایی و پتروگرافی، دو مرحله اصلی اسکارنی شدن (پیشرونده و پسرونده) در منطقه مورد مطالعه شناسایی شده است. مرحله پیشرونده اسکارن زایی با تشکیل مجموعه کانیایی بدون آب (گارت، کلینوپیروکسن و ولستونیت) شکل گرفته است. در مرحله پسرونده سیلیکات های بدون آب، به مجموعه ای از کانی های سیلیکاتی کلسیمی آبدار (اپیدوت، ترمولیت-اکتینولیت، وزوویانیت) تبدیل شده و در نهایت با افزایش CO_2 محیط واکنش های کربناته شدن مجدد صورت گرفته و سبب تبلور و جانشینی کلسیت شده است. با مقایسه الگوی عناصر اصلی گرانیتوئیدهای منطقه با سایر گرانیتوئیدهای اسکارنی شناخته شده دنیا این مجموعه بیشتر با گرانیتوئیدهای مرتبط با اسکارن های تنگستان، مولیبدن و قلع انطباق نشان می دهند.

فصل اول

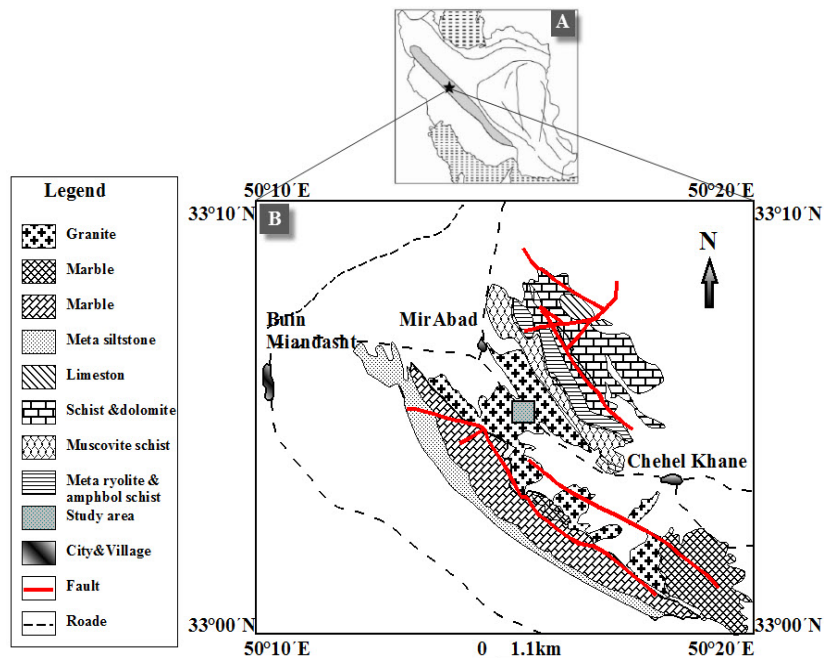
کہات

اسکارن سنگی دگرگونه با رنگ های متغیر سبز یا قرمز، گاهی خاکستری، سیاه، قهوه ای یا سفید است و به طور معمول بر اثر متاسوماتیسم شیمیایی سنگ ها در هنگام دگرگونی و در منطقه همبری توده های نفوذی مانند سنگ آهک یا دولومیت پدید می آید. ذخایر اسکارن در سراسر محدوده وسیعی از محیط های پر کامبرین تا ترشیاری پسین وجود دارند. در اکثر موارد ذخایر مهم اقتصادی اسکارن، نسبتاً جوان هستند. به کانسارهای فلزی^۱ که اسکارن باطله آن ها است و در نتیجه ترکیبی از تبلور دوباره، واکنش بی متاسوماتیک و متاسوماتیسم تراوشی می تواند به وجود آید، کانسارهای اسکارنی گویند. اسکارن ها به دلیل جذابیت های علمی از یک سو و کانسارهای اسکارنی هم به واسطه ارزش تجاری و اقتصادی مواد معدنی از سوی دیگر همیشه مورد توجه محققین و پژوهشگران زمین شناسی و معدن بوده و هست. گوناگونی کانیایی، پیدایش کانی های کمیاب متاسوماتیک، پتانسیل کانسارهای فلزی (Sn, W, Cu, Fe, Au, Zn, Pb) و سنگ ها و کانی های صنعتی از قبیل گارنت، ولاستونیت، گرافیت، آربیست و منیزیت در این سنگ ها سبب شده اند که پژوهش در مسائل گوناگون اسکارن در چند دهه اخیر افزایش داشته باشد. اسکارن های جنوب شرق الیگودرز دارای گسترش بسیار کمی می باشد. در این مطالعه به شناسایی وضعیت زمین شناسی صحرایی و ارتباط رخداد ماجماتیسم و اسکارن، تبیین پتروژنی اسکارن و سنگهای نفوذی منطقه و برآورد پتانسیل اقتصادی اسکارن مورد بررسی پرداخته می شود.

موقعیت جغرافیایی منطقه:

منطقه مورد مطالعه در جنوب شرقی الیگودرز و در محل بلافصل ترااست زاگرس و شامل بخشی از برگه ۱:۱۰۰۰۰۰ گلپایگان است. منطقه از نظر تقسیمات زمین ساختاری ایران در پهنه سندج-سیرجان قرار می گیرد. بوئین و میاندشت از جمله شهرهای شهرستان فریدن، واقع در ۲۵ کیلومتری داران (مرکز شهرستان) می باشد که در غرب استان اصفهان و در حقیقت مرز بین استان های اصفهان و لرستان واقع شده است. روستای میرآباد در شرق بوئین و میاندشت قرار گرفته است (شکل ۱).

¹- Ore deposits



شکل ۱- موقعیت منطقه مورد مطالعه در نقشه ایران و نقشه زمین شناسی ساده شده منطقه اقتباس از نقشه ۱:۱۰۰۰۰۰ گلپایگان (Mohajjal, 1993).

موقعیت زمین شناسی منطقه:

منطقه بوئین و میاندشت در بین دو رشته کوه های خونسار در شمال شرق و کوه های زاگرس در جنوب غرب واقع شده است. به علت مقاومت کم در زمین های دگرگونه که اغلب شیست های درجه پایین هستند و همچنین دانه درشت بودن سنگ های گرانیتی، ژئومورفولوژی منطقه ساده بوده و اغلب شامل تپه های فرسوده و کم ارتفاعی است که دستری به آن ها از طریق جاده های خاکی فراوان موجود در منطقه به راحتی میسر خواهد بود. این منطقه به لحاظ زمین شناسی بخشی از زون دگرگونی سنندج-سیرجان بوده و بخش اعظم آن را زمین های دگرگونه پر کامبرین، تریاس و ژوراسیک تشکیل می دهند. بخش دیگر اساساً شامل سنگ های آذرین نفوذی می باشد. بخش عمده نواحی آبرفتی را ماسه های گرانیتی و خاک رس پوشانده است. توده نفوذی بوئین و میاندشت و اسکارن همراه بخشی از گوشه جنوب تا جنوب غربی ورقه زمین شناسی ۱:۱۰۰۰۰ گلپایگان می باشد. توده های گرانیتوئیدی در منطقه مورد مطالعه در مجموعه توده های غرب ایران قرار می گیرد و درون نوار دگرگونی با روند کلی NW-SE در درون پهنه سنندج-سیرجان مشاهده می شود (ولی زاده، ۱۳۷۱).

تاریخچه مطالعاتی:

از جمله بررسی ها و مطالعاتی که در منطقه مورد مطالعه و اطراف آن صورت گرفته است، به موارد زیر می توان اشاره نمود:

- تهیه نقشه ۱:۲۵۰۰۰۰ منطقه گلپایگان توسط تیله و علوی (۱۹۶۷)، شرح نقشه زمین شناسی گلپایگان به مقیاس ۱:۲۵۰۰۰۰ توسط تیله و همکاران (۱۹۶۸)، تهیه نقشه ۱:۱۰۰۰۰۰ منطقه گلپایگان توسط مجلل و افتخارنژاد (۱۳۷۱)، پایان نامه کارشناسی ارشد قاسمی (۱۳۷۱)، مرتضی شریفی (۱۳۷۶)، غلامی فرد، (۱۳۸۹)، مینایی، سازمان زمین شناسی کشور (۱۳۸۹)، پناه دار، (۱۳۹۰)، یوسفی (۱۳۹۴) و پایان نامه های دکتری رشیدنژاد در منطقه موته (۱۳۸۱)، شریفی (۱۳۸۶). رشیدنژاد عمران (۲۰۰۲)، با روش پتاسیم- آرگون حادثه ماغمایی موته را به سن پالتوسن دانسته است. - مورتیس (۲۰۰۶) با مطالعه بر روی کانسارهای طلای موته سن مطلق برخی از سنگ های منطقه مورد مطالعه را نیز تعیین نموده است.

روش تحقیق:

مراحل انجام این تحقیق شامل گردآوری نقشه های زمین شناسی ۱:۲۵۰۰۰۰ گلپایگان (تیله و علوی، ۱۹۶۷)، ۱:۱۰۰۰۰۰ گلپایگان (مجلل و افتخارنژاد، ۱۳۷۱)، مطالعه پایان نامه ها، گزارش ها و مقالات و کتاب های مرتبط با موضوع، مطالعات صحرایی و برداشت نمونه و مطالعات آزمایشگاهی می باشد. در این بین از نتایج اNALیزهای انجام گرفته (ICP-MS و XRF) توسط یوسفی (۱۳۹۴) نیز کمک گرفته شد.

فصل دوم

زمین‌شناسی منطقه

منطقه مورد مطالعه در استان اصفهان، و در ۳۵ کیلومتری جنوب شهرستان الیگودرز قرار دارد. از دیدگاه تقسیمات زمین شناختی و ساختاری ایران جزئی از پهنه سندنج - سیرجان می باشد. به این منظور برای شناخت بیشتر منطقه، به طور مختصر به توضیح این زون پرداخته می شود:

زمین شناسی پهنه سندنج - سیرجان:

پهنه سندنج - سیرجان با روند عمومی شمال غرب - جنوب شرق، در حد فاصل زون های ایران مرکزی و زاگرس قرار دارد (اشتوکلین، ۱۹۶۸). این زون در واقع جزئی از منطقه ساختاری ایران مرکزی است زیرا رژیم تکتونیکی و شبکه ساختاری آن مانند ایران مرکزی است که در حاشیه جنوب غربی آن قرار دارد. این پهنه بحث برانگیزترین زون ساختاری ایران است که حوادث مهمی را پشت سر گذاشته است. آن چه که این زون را از ایران مرکزی متمایز می نماید، داشتن روندهای موازی با زاگرس، فعالیت های ضعیف آتشفسانی در ترشیاری، گسترش محدود سازندهای دوران سوم و وجود توده های نفوذی مزوژوئیک است که در ایران مرکزی کمیاب و اصلاً در زاگرس دیده نمی شود (اشتوکلین، ۱۹۶۸). این زون ۱۵۰۰ کیلومتر طول و ۲۰۰ کیلومتر عرض داشته و از غرب دریاچه ارومیه آغاز و در یک راستای شمال غرب - جنوب شرق تا گسل زندان (گسل میناب) در شرق بندرعباس ادامه یافته است. عمدہ سنگ های برونزد یافته در این پهنه متعلق به مزوژوئیک است و نهشته های مربوط به دوران پالئوزوئیک به ندرت در شمال غرب این زون برونزد دارند در حالی که در قسمت جنوب شرقی زون برونزد بیشتری دارند (بربریان، ۱۹۷۷؛ سبزه ای، ۱۳۷۱). ضخامت پوسته قاره ای در زاگرس را حدود ۵۵ کیلومتر و در زون سندنج - سیرجان و ایران مرکزی بین ۳۸ تا ۴۴ کیلومتر برآورد نموده اند. ضخامت پوسته قاره ای در زون سندنج - سیرجان در حدود ۶۰ کیلومتر است. این اطلاعات حاکی از آن است که پوسته قاره ای در این زون مضاعف بوده و پوسته قاره ای ایران بر روی پوسته قاره ای عربستان تراست شده است (گی یز و همکاران، ۱۹۸۴). زون سندنج - سیرجان از فعالترین زون ساختاری ایران است که از پرکامبرین تا سنوزوئیک فازهای دگرگونی و ماگماتیسم مهمی را پشت سر گذاشته است (نبوی، ۱۳۵۵) به طوری که فازهای مهم کوه زایی سیمرین و لارامید را در خود ثبت کرده

است (افتخارنژاد، ۱۳۵۹). تکامل تکتونیکی این زون مرتبط با زایش نئوتیس می باشد که در طی ۴ مرحله انجام گرفته است که عبارتند از:

۱- تشکیل نئوتیس در تریاس؛ ۲- فرورانش پوسته اقیانوسی نئوتیس در امتداد حاشیه شمال شرقی در ژوراسیک- میوسن؛ ۳- فرورانش افیولیت ها در امتداد حاشیه شمال شرقی ورقه عربی در زمان کرتاسه؛ ۴- برخورد حاشیه شمال شرقی ورقه عربی با ایران مرکزی در زمان میوسن. از طرف دیگر ببریان و کینگ (۱۹۸۱) وجود دگرگونی و ماقماتیسم کالک آلکالن در طول زون سنندج- سیرجان در زمان مزوژوئیک را نشانگر توسعه قوس ماقمایی در طی فرورانش از زمان تریاس به حساب می آورند. در این پهنه سنگ های دگرگونی با رخساره شیست سبز دارای گسترش فراوانی هستند (نبوی، ۱۳۵۵). اما در مناطقی که توده نفوذی جایگزین شده اند اثر حرارتی توده ها درجه دگرگونی را افزایش داده است.

محجل و سهندی (۱۳۷۸) و محجل و همکاران (۲۰۰۳) زون سنندج- سیرجان را بر اساس واحدهای چینه شناسی و ویژگی های ساختاری به واحدهای تکتونیکی کوچک تر یا زیر زون تقسیم بندی کرده اند، از جنوب غرب به شمال شرق این تقسیم بندی ها شامل واحدهای تکتونیکی زیر می باشد:

۱- زیر زون رادیولاریتی، ۲- زیر زون بیستون، ۳- زیر زون افیولیتی، ۴- زیر زون حاشیه ای، ۵- زیر زون با دگرشكلي پيچيده. در اين تقسيم بندی، منطقه مورد مطالعه در زیر زون با دگرشكلي پيچيده (فيلييت همدان) قرار می گيرد. اين زیر زون با سنگ های دگرگونی فراوان از سایر زیر زون ها مشخص می گردد، به طوری که بخش اعظم آن از سنگ های کربناته، تخریبی و تا حدودی آتشفسانی دگرگون شده مزوژوئیک تشکیل شده است. در زون سنندج- سیرجان فعالیت آتشفسانی تا قبل از ترشیری بیش از سایر نواحی ایران بوده است و این موضوع یکی از ویژگی های خاص و مهم این پهنه است ولیکن در دوره ائوسن این فعالیت متوقف شده است. سنگ های نفوذی پی آمد رخداد تکتونیکی هم زمان با لارامید یا جوان تر در این زون وجود دارد (نبوی، ۱۳۵۵).

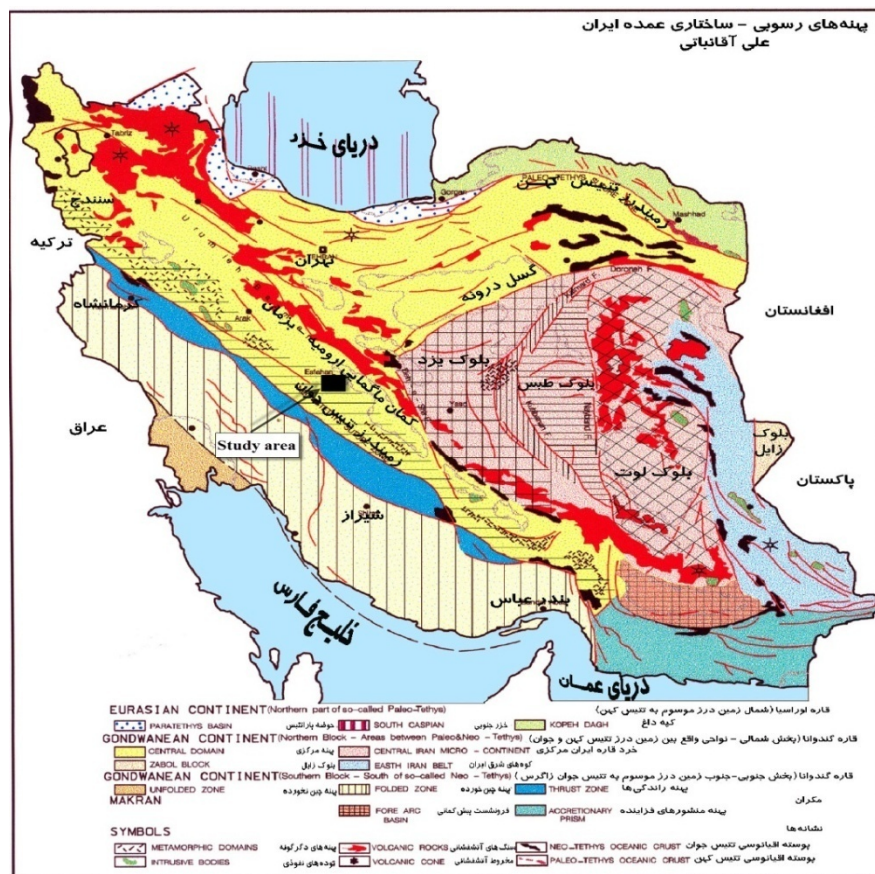
در این بخش از پهنه سندج-سیرجان، ساختارهای مختلف زمین شناسی اعم از دگرگونی، مagmaتیسم و کوه زایی تحت تأثیر چندین فاز زمین ساختی قرار داشته اند که حوادث تکتونیکی مرتبط با زمان مژوزوئیک از اهمیت بیشتری برخوردار هستند.

نخستین حادثه تکتونیکی مژوزوئیک در زون سندج-سیرجان که از آن به عنوان سیمرین پیشین یاد می شود، در اواخر تریاس میانی اتفاق افتاده است که در اثر آن گستره ایران زمین به دو پهنه مجزا با شرایط رسوی متغیر تقسیم شده اند. این رویداد سراسری در ایران به سیمرین پیشین معروف است. این یافته ها حاکی از آن است که بسیاری از رویدادهای منسوب به سیمرین پسین به واقع از دست آوردهای سیمرین میانی است و به احتمال نزدیک به یقین، برخلاف برداشت های پیشین، سیمرین جوان تنها نقش قاره زایی داشته است و افراد مختلفی نشان داده اندکه عملکرد این رویداد در همه جای ایران هم زمان نبوده است (سید امامی و علوی نائینی، ۱۹۹۰).

دومین حادثه تکتونیکی، پیش از بازوییں بالایی (ژوراسیک میانی) رخ داده که مانند رویداد اول از نوع کوه زایی بوده و سیمرین میانی نام گرفته است. این رویداد با چین خوردگی، جای گیری توده های نفوذی و دگرگونی همراه بوده است. از جمله نتایج عملکرد این رویداد ایجاد دگرگونی در سنگ های ژوراسیک زیرین (گروه شمشک) است.

در ناحیه اقلید از بخش میانی پهنه سندج-سیرجان، سنگ های آواری ژوراسیک زیرین دگرگون شده و روی آن را کنگلومرای ژوراسیک به طور ناپیوسته پوشانده است (هوشمندزاده و همکاران، ۱۳۶۹). این دگرگونی در حد رخساره شیست سبز می باشد که آن را به حادثه تکتونیکی پس از لیاس و پیش از ژوراسیک بالایی نسبت می دهند. آثار این دگرگونی را می توان در نواحی همدان، بروجرد، گلپایگان، خمین، ملایر و ازنا نیز مشاهده نمود که بر اساس مطالعات چینه شناسی، دگرگونی این نواحی نیز بیانگر سن ژوراسیک میانی است (بربریان، ۱۹۷۲). بر پایه نظریه بربریان (۱۹۷۲) این بخش از زون سندج-سیرجان بیش از سایر نقاط شناخته شده در ایران تحت عملکرد کوه زایی سیمرین قرار گرفته است به طوری که در اواخر ژوراسیک دگرگونی شدیدی را متحمل شده است. اگرچه حادثه کوه زایی سیمرین پسین را به اواخر

ژوراسیک نسبت می دهند ولی مطالعات اخیر بیانگر حرکاتی است که طی ژوراسیک میانی در ایران رخ داده و به طور کلی گستره ایران در تمام دوره ژوراسیک از آرامش برخوردار بوده است (بربریان و نوگل سادات، ۱۹۷۴؛ پرپریان و کینگ، ۱۹۸۱).



شکل ۱- زون های ساختاری ایران و نمایش موقعیت منطقه مورد مطالعه در آن، (آقانیاتی، ۱۳۸۳).



شکل ۲- زیر پهنه های زون سندج- سیرجان از نگاه محجل و سهندی (۱۳۷۸)

زمین ساخت پهنه سندج- سیرجان:

اگرچه محجل و سهندی (۱۳۷۸)، الگوی ساختاری سندج- سیرجان را از نوع چین های بسته و هم راستا در مقیاس کیلومتری می داند، ولی علوی (۱۹۹۴)، زمین ساخت سندج- سیرجان را به طور عمدۀ از ساختارهای دوپلکس^۲ مرکب بزرگ مقیاس و همچنین سیستم های فلزی کوچک و بزرگ زاویه، با شیب شمال خاوری می داند که در اثر آن، ورقه هایی از سنگ های فانروزوییک دگرگونه و نادگرگونه، به اندازه های ناهمسان، جابه جا شده اند. شواهد چینه نگاشتی و کنگلومراهای همزمان با کوهزایی، نشانگر آن است که این راندگی ها از کرتاسه پسین آغاز شده اند. شواهد ساختاری جهت راندگی ها را از شمال خاور به جنوب باخته نشان می دهد. جابه جایی و انباستگی ورقه های راندگی، سبب افزایش ضخامت پوسته قاره ای به اندازه تقریبی ۱۰ تا ۱۵ کیلومتر شده که بی هنجاری گرانی بوگه منفی، مؤید این پدیده است.

شیخ الاسلامی (۱۳۸۱)، نکته های زیر را علت تکامل زمین ساختی پهنه سندج- سیرجان دانسته است (نقل از آقانباتی، ۱۳۸۵).

²-Duplex

- الف) بازشدگی درون قاره ای به سن پالئوزوییک در حاشیه شمالی گندوانا.
- ب) جدا شدن ورق ایران از گندوانا در حاشیه جنوبی خود به دنبال بازشدگی تیس جوان پس از پرمین میانی.
- ج) از آغاز تریاس، سنگ کره اقیانوسی تیس جوان در اثر فرورانش در زیر ورق ایران، شروع به از میان رفتن کرده است. از این زمان به بعد، سندج-سیرجان یک گوه افزایشی را شکل داده است.
- د) بسته شدن تیس جوان در انتهای مژوزوییک، در این زمان حاشیه قدیمی ایران (سندج-سیرجان با مجموعه دگرگون همراه با افیولیت های تیسی) بر روی حاشیه قدیمی عربی- گندوانایی رانده شده اند اما مطالعات جدید از جمله آگارد و همکاران (۲۰۰۵)، طهماسبی و همکاران (۲۰۱۰)، بسته شدن نئوتیس را در الیگوسن دانسته اند.
- چینه شناسی پهنه سندج-سیرجان:**
- در زون سندج-سیرجان، پدیده های دگرگونی، ماقماتیسم و زمین ساخت پی درپی و هم آهنگ با فازهای زمین ساختی شناخته شده در مقیاس جهانی در بیشترین مقدار است. به همین رو، این زون نآرام ترین و به گفته ای دیگر پویاترین پهنه زمین ساختی ایران است.
- سنگ های پرکامبرین به سن فانروزوئیک می باشند و هیچ واحد سنگی متعلق به پرکامبرین تاکنون گزارش نشده است البته سبزه ای (۱۳۷۳ به نقل از آقانباتی، ۱۳۸۵) بی سنگ زون سندج-سیرجان را متعلق به پرکامبرین دانسته و آن را از نوع پوسته اقیانوسی می داند. دگرگونی پرکامبرین در این زون در گلپایگان و مخصوصاً بخش جنوبی این نوار شدید بوده است (درویش زاده، ۱۳۸۰)، البته قاسمی و همکاران معتقدند سنگ هایی که قبلاً به عنوان پی سنگ پرکامبرین در نقشه های تکتونیکی ایران معرفی شده اند، با توجه به بررسی های فسیل شناسی به پالئوزوئیک یا توالی هایی از ژوراسیک تعلق دارند. این پهنه از نظر ساختمنی و تاریخچه رسوب گذاری و هم چنین رخدادهای تکتونیکی و فعالیت توده های نفوذی به ویژه از دوره پرمین به بعد تاحدودی شبیه به ایران مرکزی است (معین وزیری، ۱۳۷۷). مجموعه پرمین سندج-سیرجان کم و بیش با ایران مرکزی شبیه است ولی سنگ های شیلی پرمین در این پهنه بیشتر هستند و در

برخی نقاط با دیابازهای قلیایی و بازالت همراه است به جز موارد نادر سنگ های پرمین را شیسته ای تریاس بالا- ژوراسیک پوشانده اند (آقانباتی، ۱۳۸۵). پهنه سندج- سیرجان همچون زاگرس از اردوسین تا پرمین از آب خارج بوده و در پرمین تدریجیاً به زیر آب فرورفته است (اشتوکلین، ۱۹۶۸)، اما نبوی (۱۳۵۵) بر این باور است که وضعیت خشکی تا تریاس فوقانی که فاز کوه زایی سیمیرین پیشین، رسوبات پرموتیریاس را چین داده، ادامه داشته است. در تریاس میانی تا پایانی فعالیت ماقمایی با نفوذ توده های کوچک و بزرگ گابرو و پلوتون های گرانیتیوئیدی و بیرون ریزی جریان های گدازه تولئیتی در این زون گسترش یافته است. تصور می رود فعالیت های ماقمایی و دگرگونی تریاس میانی تا پایانی مربوط به فازهای کششی باشد که موجب تشکیل پوسته اقیانوسی نئوتیس شده است. بر اثر فاز کمپرسیونی که در اوخر تریاس روی داده در حاشیه غربی ایران مرکزی و زون سندج- سیرجان چین خوردگی به وقوع پیوسته است (اشتوکلین، ۱۹۶۸). در ژوراسیک تحتانی مجدداً آب بر روی منطقه پیشروی نموده و رسوبات تخریبی به صورت دگرشیب بر روی رسوبات چین خورده پرموتیریاس نهشته شده اند (بربریان، ۱۹۷۳).

در تریاس میانی و فوقانی در قسمت جنوب شرق این زون، رسوبات آهکی و سیلیسی آواری به مرمر، شیست، گنیس و کوارتزدیوریت درجه متوسط تا بالا تبدیل گردیده اند (سبزه ای، ۱۳۷۱). هم چنین پویش های ماقمایی درونی و بیرونی حکایت از پویایی فرآیندهای فشاری این زمان دارد که بسیاری از پژوهشگران آن را به فرورانش قلمرو نئوتیس نسبت می دهند.

دگرگونی پهنه سندج- سیرجان:

نا آرامی های مکرر و هم آهنگ با فازهای زمین ساختی شناخته شده در مقیاس جهانی، سبب شده تا ردیف های پالئوزوییک- تریاس و همچنین فلیش توربیدیت های مزوژوییک، گاهی در مرز رخساره آمفیبولیت دگرگون شوند. در گذشته، بخش در خور توجهی از این دگرگونی ها به سن پرکامبرین و پی سنگ ناحیه انگاشته می شد. ولی، یافته های تازه نشانگر آن است که به جز نواحی کوچکی از گلپایگان و سیرجان، در دیگر نواحی، سنگ های دگرگونی بیشتر در ارتباط با جنبش های کوهزایی جوان تر است. در سیرجان و اسفندقه، بخش عمده دگرگونی ها، ماسه سنگ ها و سنگ آهک های تبلور یافته و متاگابرو- بازالت، به سن

سیلورین- دونین هستند. در ناحیه اقلید، آواری های ژوراسیک پایینی - میانی دگرگون شده و بر روی آنها، ژوراسیک بالایی نادگرگونه نشسته است (هوشمندزاده، ۱۳۵۷). در همدان شیسته های دگرگونه سن ژوراسیک دارند که در فاز سیمیرین میانی نخستین رویداد دگرگونی بر آنها تحمیل شده ولی، فرآیندهای دگرگونی همچنان در زمان کرتاسه و حتی در اثر جایگیری توده های نفوذی تکرار شده است. و سرانجام، در بخش شمال باختری سنندج- سیرجان، بخش عمده سنگ های دگرگونی نواحی سنندج و مهاباد وابسته به کرتاسه اند و فرآیند درگونی یک پدیده آلپی هم ارز رخداد لaramید است.

از نگاه سبزه ئی همه دگرگونی های سنندج- سیرجان را می توان در دو گروه بزرگ زیر جای داد:

۱- سنگ های دگرگونی پالئوزویک- اوایل مزوژویک که بیشتر در بخش جنوب خاوری رخنمون دارد.

۲- سنگ های دگرگونی مزوژویک- اوایل سنوژویک که بیشتر در بخش شمال باختری دیده می شوند.

ویژگی یگانه دگرگونی، در هر دو دگرگونی، سنگ ها پیش از چین خوردگی به گونه ای ایستادگون شده اند و سپس گفتۀ دیگر، در هر دو دگرگونی، سنگ ها پیش از چین خوردگی به گونه ای ایستادگون شده اند و سپس در روند چین خوردگی نیز برگوارگی تازه در آنها به وجود آمده که پاراژنز دگرگونی ایستا را تحت تأثیر قرار داده است، اما به رغم شدت تحولات، هنوز پاراژنز اولیه به جا مانده است. در پی دگرگونی دینامیک، نوعی دگرگونی گرمایی از نوع همبry مشخص است که در نقاطی بر روی دو حادثه پیشین اثر گذاشته است. دگرگونی همبry با تشکیل کانی هایی مشخص می شود که پس از شیستوزیتۀ پدیدار شده اند. سبزه ئی عامل اصلی این دگرگونی ها را نفوذ دیاپیرهای گرم به درون پوسته جامد زمین می داند.

سنگ های نفوذی پهنه سنندج- سیرجان:

مطالعه سنگ های نفوذی پهنه سنندج- سیرجان توسط محققان مختلف نشان می دهد که در این پهنه چد فاز آذرین درونی رخ داده است که مهمترین آن ها در زمان های تریاس میانی- پایانی، ژوراسیک پایانی- کرتاسه آغازی، کرتاسه پایانی- پالئوسن اتفاق افتاده اند (بربریان و بربریان، ۱۹۸۱). توده های نفوذی تریاس بطور محدودی در بخش جنوبی پهنه سنندج- سیرجان بروند دارد که از جمله می توان به باتولیت شهر بازرگانی، توده های جنوب شرق شهرستان بافت و گرانیت های ده بید اشاره نمود. سنگ های نفوذی

ژوراسیک، کرتاسه و اوایل ترکیه‌ای در بخش شمالی پهنه سندج- سیرجان (در فاصله شهرهای گلپایگان تا ارومیه، بروند دارد، که می‌توان از توده‌های نفوذی گابرو- دیوریت آلموقلاک در ۱۲ کیلومتری شمال اسدآباد (در غرب همدان)، آستانه اراک، منطقه بوئین- میاندشت (۶ توده گرانیت‌وئیدی)، قوشچی در شمال غربی ارومیه، توده‌های نفوذی چاه دزدان و چاه بازرگان در ناحیه شهر بابک، گرانیت‌های الیگودرز، گابروی چشمیه قصابان و بزرگترین آنها با باتولیت الوند یاد کرد. بیشتر توده‌های نفوذی مجموعه گلپایگان- ارومیه از نوع توده‌های مرکب هستند که سنگ‌های با ترکیب و سن مختلف را در بر دارند. در این مجموعه نفوذی بیشتر توده‌ها به زمان کرتاسه- پالئوسن تعلق دارند و در بیشتر توده‌های مرکب این مجموعه تشکیل سنگ‌های بازیک مقدم بر رخساره‌های اسیدی بوده است و تفاوت‌های بارز سنگی این مجموعه نشانگر خاستگاه‌های متفاوت هر گروه سنگی می‌باشد (قلمقوش، ۱۳۸۱).

بربریان و بربریان (۱۹۸۱) با بررسی سنگ‌های نفوذی پهنه سندج- سیرجان فروزانش پوسته اقیانوسی تتیس جوان را از نوع اریب دانسته‌اند. طبق این مدل آغاز فروزانش از منتهی الیه جنوب شرقی پهنه سندج- سیرجان آغاز شده است و سنگ‌های آذرین تریاس میانی- بالایی منطقه اقلید، کمان ماگمایی این مرحله از فروزانش بوده‌اند. با گسترش فروزانش به سمت شمال غرب، کمان ماگمایی نیز به این سمت گسترش یافته و کمربند ماگمایی (کرتاسه پایانی- پالئوسن) که به ویژه بین همدان- گلپایگان بروند دارد در این منطقه جایگیر می‌شود.

توان معدنی پهنه سندج- سیرجان:

زون سندج- سیرجان نوعی کافت درون قاره‌ای است که تکاپوهای ماگمازایی و پدیده‌های دگرگونی، عواملی مؤثر در ایجاد نهشته‌های معدنی هستند. به همین رو توان معدنی درخور توجهی دارد و جدا از ذخایر و نشانه‌های شناخته شده، امید دستیابی به نهشته‌های معدنی جدید در آن دور از انتظار نیست. قربانی (۱۳۸۱) از دیدگاه زمین‌شناسی اقتصادی و پراکندگی کانسارها زون سندج- سیرجان را به سه بخش زیر تقسیم می‌کند.

«بخش جنوبی» که به داشتن «کروم» در اولترامافیک های اسفندقه فاریاب، «آهن»، «آهن منگنز» در گل گوهر، هنشک، بافت، «سرب- روی، مس»، در چاه گز، قنات مروان با سن پرکامبرین پسین تا کرتاسه پیشین شاخص است.

در «بخش میانی»، کانی سازی اصلی سرب و روی است. که در مناطق شمس آباد- نظام آباد (با کانی سازی سرب و روی و نقره، آهن و منگنز)، آهنگران (با کانی سازی سرب و روی و نقره، آهن و منگنز) و موته در بیشترین مقدار است. افزون بر آن، در این بخش کانسارهای تالک، گرافیت، باریت و سنگ های ساختمانی، اهمیت ویژه دارند.

در «بخش شمالی»، کانی سازی آهن، (معدن آهن همه کسی شمال همدان و شمال سُنُفر، شمال باختری دیواندره)، طلا، طلا- آنتیموان، (معدن داشکسن)، و کانه های آلومینیوسیلیکاتی را می توان نام برد. گفتنی است آنچه که پیش از همه می تواند در زون سنندج- سیرجان از نظر اقتصادی با اهمیت باشد، وجود انواع مختلف سنگ های تزیینی و نما با ذخایر زیاد است.

چینه شناسی و زمین ساخت منطقه

۱- پرکامبرین

کهن ترین نهشته های بیرون زده در نقشه گلپایگان در منطقه بوئین- میاندشت و امتداد جاده داران به بویین و الیگودرز و جنوب آن یعنی آبادی های هزارجریب، شایوردی و جنوب شرقی افوس (دژکان) مشاهده می شود. با توجه به این که هیچ نوع آثار زیست فسیل در این ردیف دیده نمی شود و با شباهت هایی که ممکن است با دیگر نهشته های پرکامبرین بالا، کامبرین زیرین داشته باشند، این نهشته ها به نظر می رسد در یک تاقدیس با محور شمال باختری و جنوب خاوری در راستای آبادی های خویگان، شش جوان، زرنه، شایوردی و قلعه اخلاص قرار گرفته اند و به ترتیب قدمت شامل سه قسمت عمده زیر می باشند:

- شیست

- ولکانیک های اسید دگرگون شده با ترکیب ریولیتی.

- نهشته های کربناتی بلورین شده

این ردیف با یک گسله سرتاسری راستای شمال باختری جنوب خاوری بریده می شود. در ضلع جنوبی این ساختمان تاقدیسی، در نزدیکی آبادی قلعه خواجه، کلریت مسکویت شیست و بر روی آن به تناوب آهک و دولومیتهای چرت دار مرمرین دار مشاهده می شود که شبیب آن ها به سمت جنوب شرقی بوده و با گسله تراستی بر روی نهشته های تریاس هم ارز با آب باریک و ژوراسیک رانده شده است. بنابراین اگر محور تاقدیس را شمال باختری و هم راستا با آبادی های خویگان، شش جوان، زرنه و شایوردی قلعه اخلاص و بلطاق در نظر بگیریم. هسته این تاقدیس شامل شیست و ماسه سنگ های دگرگونه می باشد که بر روی آن به تناوب شیست و سنگ های آتشفسانی اسید دگرگونه (متاریولیت) واقع در جنوب پل نوغان به سمت بلطاق و همچنین به صورت تغییرات جانبی بر روی آن ها واحد ریولیتی و آهک چرت دار قرار می گیرد. با توجه به همانندی لیتواستراتیگرافی این واحد با دیگر نقاط می توان گفت که دولومیت های چرت دار در تناوب با شیست ها و هم ارز سازندهای باروت سلطانیه اند و ریولیت های دگرگونه هم ارز با ریولیت های مهاباد و قره داش واقع در شمال غرب کشور و همچنین هم ارز با سازند ریزو و کوارتز پورفیرهای بخش زیرین آن در کرمان می باشند (محجل، ۱۳۷۱).

۲- پرمین

ناودیس آق داش که دارای ارتفاع زیادی است در شمال غربی روستای چهل خانه قرار دارد. در ضلع جنوب غربی این کوه ردیف کالک شیست های به شدت چین خورده در تناوب با شیست های کلریت- اپیدوت دار سخت چین خورده به طور هم شبیب روی نهشته های متعلق به کامبرین زیرین قرار می گیرند. آخرین واحد این ردیف، آهک خاکستری ستبر لایه و توده ای است که با ضخامت حدود ۱۰۰ متر در ستیغ کوه آق داش ناودیس برجسته را تشکیل می دهد. این آهک نیز به سختی چین خورده است و به علت بلورین شدن شدید، فسیلی در آن مشاهده نمی گردد.

۳- تریاس

در راستای جاده داران به الیگودرز که از آبادی های حصور، نهر، خلچ، اوزون بلاغ، بوئین- میاندشت، ازناوله و جنوب نوغان می گذرد، در بخش شمالی جاده نهشته هایی شامل آهک مرمر شده، فیلیت، ماسه سنگ های

گریواکی خاکستری متمایل به سبز تیره دگرگونه، سنگ های آتشفسانی زیر دریایی (اسپیلیت دیاباز) توف و تناوبی از آهک، شیست و دیاباز مشاهده می گردد که در کنار رسوب های متعلق به پرکامبرین پسین-کامبرین زیرین قرار گرفته اند. این همبری در بیشتر بخش ها به صورت گسله مشاهده می شود. ندیمی و ندیمی (۲۰۰۸) با معرفی گسل های جدیدی در منطقه گلپایگان بیرون زدگی واحدهای قدیمی پرکامبرین و پالئوزوئیک زیرین را ناشی از روراندگی های واحدهای قدیمی در محدوده الیگودرز و واحدهای قدیمی در طی کشش جانبی در محدوده گلپایگان می دانند. در شرق بوئین-میاندشت در زیر واحد آتشفسانی، آهک ماسه ای به رنگ خاکستری بروزنزد دارد که بخش هایی از آن میکروکنگلومراپی است. وجود واحد آواری ماسه ای-آهکی در پیشاپیش نهشته های متعلق به تریاس که بطور ناپیوسته روی سنگ های متعلق به پرکامبرین قرار دارد، یک نبود چینه ای گستردگی را نشان می دهد (اقتباس از نقشه ۱:۱۰۰۰۰۰ گلپایگان، مجلل، ۱۳۷۱).

ردیف یاد شده در شرق بوئین-میاندشت به ترتیب دیرینگی، شامل واحدهای زیر است (مجلل، ۱۳۷۱):

- آهک ماسه ای و میکروکنگلومراپی قهوه ای روشن با ضخامت حدود ۲۰ متر تا ۳۰ متر (تکه های شیلی با رنگ خاکستری متمایل به آبی)، هم شبیب با شیستوزیته و دانه های ماسه سنگی و دولومیتی قهوه ای.
- تناوب آهک ماسه ای و دیاباز دگرگون شده به ضخامت حدود ۶۰ متر.
- دیاباز دگرگونه و دگرسان شده به ضخامت حدود ۶۰ متر.
- آهک ماسه ای با ضخامت حدود ۱۲ متر.
- سریسیت شیست (کوارتز-مسکویت-سریسیت شیست)، توف، دیابازهای دارای ملاکیت و آزوریت به ضخامت حدود ۲۰ متر (این واحد به سمت شرق کم ضخامت شده و ناپدید می گردد).
- ماسه سنگ خاکستری دانه ریز آهکی حدود ۳۰۰ متر.
- کالک شیست و مرمرهای دارای ساقه کرینوئید، با ضخامت تقریبی ۴۵۰ متر که در بخش های بالایی با ماسه سنگ دگرگونه در تناوب قرار می گیرد. بخش هایی از آهک دارای چرت بوده و چین خورده است.

- آهک خوب لایه بندی شده با لایه های متوسط که در غرب گنجه در تناوب با شیل دگرگونه سبز رنگ قرار دارد. بر روی این ردیف در شمال داران (شرق بادیجان) سازند نایبند به سن تریاس بالایی جای گرفته است.

۴- تریاس بالایی

این رسوب ها با شیل های دگرگونه خاکستری تیره متمایل به سبز که به صورت شیل مدادی در آمده اند، آغاز شده و با آهک های خاکستری تیره و خاکستری دارای فسیل خارپوست دنبال می گردد. همبrijی بخش بالایی و جوانتر این سازند در بیشتر قسمت ها با سازند لیاس شمشک به صورت گسله می باشد.

۵- ژوراسیک

ردیفی بسیار ستبر با راستای کلی شمال غرب-جنوب شرق که همبrijی آن با رسوب های کهن تراز خود، در بیشتر بخش ها به صورت گسله است، در شمال جاده آسفالته داران به الیگودرز در محل آبادی های ازناوله، پل نوغان و دره ساری دیده می شود. این ردیف شامل رسوبات زیر می باشد (محجل، ۱۳۷۱):

- اسیلیت، توف، سنگ های آتشفسانی زیر دریایی با کاوک هایی که از کلسیت و آهک دارای کرینوئید و مرمرین پر شده است.

- تناوب ماسه سنگ دگرگونه خاکستری متمایل به سبز کوارتزیتیک، اسلیت و کالک شیست.
- اسلیت های تیره رنگ لوحی و مات با ضخامتی حدود ۲۵۰ متر که در بخش های پایین آن سیل های اسیدی در راستای لایه بندی و شیستوزیتی پدیدار می گردد.

- در آبادی نوغان پایین، در دنباله همان روند، سه واحد آهکی (کالک شیست، مرمر خاکستری و شیل های آهکی، دارای آثار شاخه کرینوئید با ضخامت های حدود ۳۵ تا ۵۰ متر دیده می شوند که به سمت خاور ستبر می گردد و به سمت غرب از ضخامت آن ها کاسه می شود.

- اسلیت های تیره با ضخامت خیلی زیاد (حدود ۶ کیلومتر). ضخامت زیاد این اسلیت ها بیشتر در اثر چین خوردگی است و یک شیستوزیتی چیره در راستای سطح محوری چین ها (شمال غرب-جنوب شرق) همه آن ها را تحت تأثیر قرار داده است (فاز همزمان با فاز لارامید). در بین این اسلیت ها در امتداد آبادی های

کرج و بستان شیل های آهکی و توفی ظاهر می گردد. در شمال آبادی بوئین-میاندشت در کوه قره داغ که به صورت ناودیس برجسته دیده می شود. در این ردیف بر اثر نفوذ گرانیت جوانتری دگرگونی همبری روی داده است. آمفیبولیت، آمفیبول شیست، متاریولیت، مرمر و شیست های دومیکا در جنوب آبادی تخامخلو-خلیلی رخساره پرکامبرین بالا- کامبرین زیرین را دارد. این همبود دنباله روند کوه آق داش به سمت غرب می باشد که گرانیت به درون آن نیز نفوذ کرده است. وجود مرمرها و شیست های آمفیبول دار، تیله و همکاران (۱۹۶۸) را بر آن داشته تا در چهارگوش گلپایگان، این مجموعه را به پرکامبرین نسبت دهند و سن گرانیت مزبور با گرانیت های وابسته به کوهزایی لارامید را (حدوده الیگودرز، شازند، بروجرد همسن می باشند)، کهن دانسته و حتی به پرکامبرین نسبت دهند.

۶- کرتاسه

حرکات کرتاسه پایانی مورفولوژی کنونی کشور ما را پی ریزی کرده است. از این دوره به بعد پهنه سندج-سیرجان از آب خارج بوده و تحت فرسایش قرار گرفته است (بربریان و گینگ، ۱۹۸۱). در منطقه بوئین-میاندشت سنگ های آهکی کرتاسه که بر روی سنگ های ژوراسیک قرار گرفته اند، در نتیجه عملکرد فاز کوهزایی لارامید دگرشكلي شدید همراه با تبلور دوباره بلورهای کلسیت را نشان می دهند. محور ریزچین های موجود در لایه های آهکی کرتاسه ۱۳۵ درجه بوده و از روند زاگرس تبعیت می نماید (قاسمی، ۱۳۷۱). واحدهای آهکی کرتاسه در این نواحی صخره ساز هستند و کلیه ارتفاعات حوالی منطقه بوئین- میاندشت توسط واحدهای آهکی احاطه شده است.

فصل سوم

بررسی اسکارن منطقه

تقسیم بندی اسکارن

اینودی و همکاران (۱۹۸۱) اسکارن ها را بر اساس شرایط و چگونگی تشکیل به دو گروه اسکارن های واکنشی^۳ یا اسکارن های متاسوماتیک موضعی و اسکارنوئید (هورنفلس کالک سیلیکاته) تقسیم کرده اند. گسترش زون اسکارنی بستگی به حجم محلول ها، تخلخل مفید، میزان درز و شکاف و واکنش پذیری سنگ کربناته دارد. اسکارن های واکنشی حاصل دگرگونی ایزوشیمیایی شیل های بین لایه ای و واحدهای کربناته هستند که جایه جایی متاسوماتیک اجزاء تشکیل دهنده در به وجود آوردن آنها نقش داشته است. این نوع اسکارن ها مختص مناطق دگرگونی درجه متوسط تا بالا می باشند که در آن اجزای شیمیایی جهت واکنش از سنگ های دیواره حاصل می شود و معمولاً با کانسارسازی همراه نیستند. اسکارنوئید در شرایط دگرگونی ناحیه ای و یا همبryی بدون اضافه شدن محلول ماقمایی و یا گرمایی، تحت تأثیر حرارت توده های نفوذی یا حرارت دگرگونی ناحیه ای به وجود می آیند. هورنفلس های کالک سیلیکاته در مقایسه با اسکارن های واکنشی دانه ریز تر بوده و تغییرات کانی شناسی آن بسیار کم است. بر اساس تقسیم بندی رز و بارت (بارنز، ۱۹۷۹) (Baranz, 1979) کانسارهای اسکارن در یکی از گروه های زیر قرار می گیرند:

۱- اسکارن در اطراف توده نفوذی واقع شده است.

۲- توده نفوذی در اطراف اسکارن واقع شده است.

۳- توده نفوذی همبryی مستقیمی با اسکارن نداشته و دیدنی نیست.

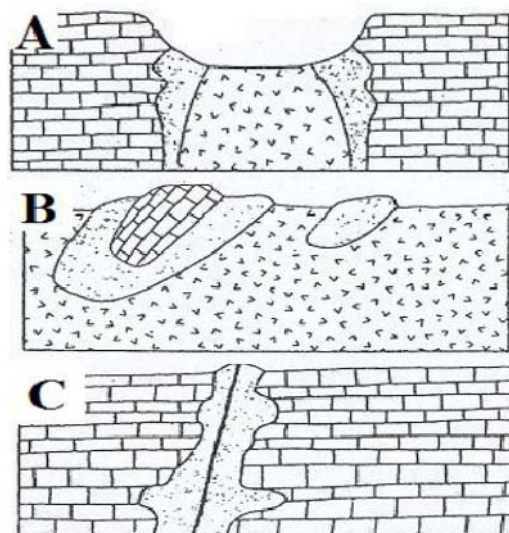
بیشتر اسکارن ها متعلق به گروه اول می باشند. در این حالت اسکارن جانشین لایه های کربناته مجاور توده نفوذی می شود. در نوع دوم اسکارن جانشین زنولیت ها یا قطعات معلق کربناته در سقف توده نفوذی شده است. اسکارن های نوع سوم در طول شکاف ها، رگه ها تشکیل می شوند.

اسکارن ها را بر اساس نوع کانی های کالک سیلیکاته تشکیل شده می توان به دو گروه کلیسک و منیزین تقسیم بندی نمود. به عبارت دیگر اسکارن هایی که جانشین سنگ های آهکی می شوند، عمدتاً حاوی سیلیکات های آهن و کلسیم بوده و به اسکارن های کلسیمی موسومند. اما اسکارن هایی که جانشین

³-Skarns Reaction

دولومیت می شوند، حاوی سیلیکات های منیزیم بوده و اسکارن منیزیمی نامیده می شوند (اینودی و همکاران، ۱۹۸۱).

اسکارن ها همچنین براساس موقعیتشان نسبت به توده نفوذی تقسیم بندی می شوند. برون اسکارن (اگزواسکارن^۴) به نوعی از زون اسکارنی اطلاق می شود که در سنگ های کربناته (عموماً سنگ مرمرها) تشکیل می شود. ترکیب شیمیایی و گسترش اگزواسکارن تابع حجم محلول های ماقمایی- گرمابی، ترکیب شیمیایی محلول و ترکیب کانی شناسی سنگ کربناته است. درون اسکارن (اندواسکارن) به زونی گفته می شود که در سنگ های نفوذی تشکیل گردیده است. کانی های مهم اندواسکارن نوع احیایی، پیروکسن و پلاژیوکلاز و نوع اکسیدان، کوارتز، اپیدوت و گارنت می باشند (کریم پور و سعادت، ۱۳۸۱).



شکل ۱: رابطه های اسکارن با توده نفوذی، (A) اسکارن اطراف توده نفوذی، (B) توده اطراف اسکارن، (C) اسکارن بدون توده (Rose and Burt, 1979).

جایگاه زمین ساختی اسکارن ها

اسکارن ها در جایی که توده نفوذی وجود داشته و سنگ های کربناته گسترش یافته باشند، پدید می آیند. بیشتر دسته های اسکارن ها به مرزهای صفات همگرا^۵ و محدوده ای از جزایر قوسی اقیانوسی^۶ به طرف حاشیه قاره ای^۷ متعلق می باشند.

⁴- Exoskarn

⁵-Convergent plate

⁶-Oceanic island arcs

⁷-Continental margins

مینرت (۱۹۹۲) طبقه بندی تکتونیکی ویژه ای را انجام می دهد. او بیان می دارد که یک طبقه بندی تکتونیکی مفید از کانسارهای اسکارن، باید انواع گروه های اسکارن را که غالباً با همدیگر یافت می شوند و نمایانگر تعلق به یک موقعیت تکتونیکی هستند را نشان دهد. بر پایه تکتونیک صفحه ای کانسارهای اسکارنی در چهار موقعیت یافت می شوند که عبارتند از:

- زون فرورانش حاشیه قاره ها

- زون تصادم دو قاره

- زون فرورانش جزایر قوسی

- ریفت های درون قاره ای

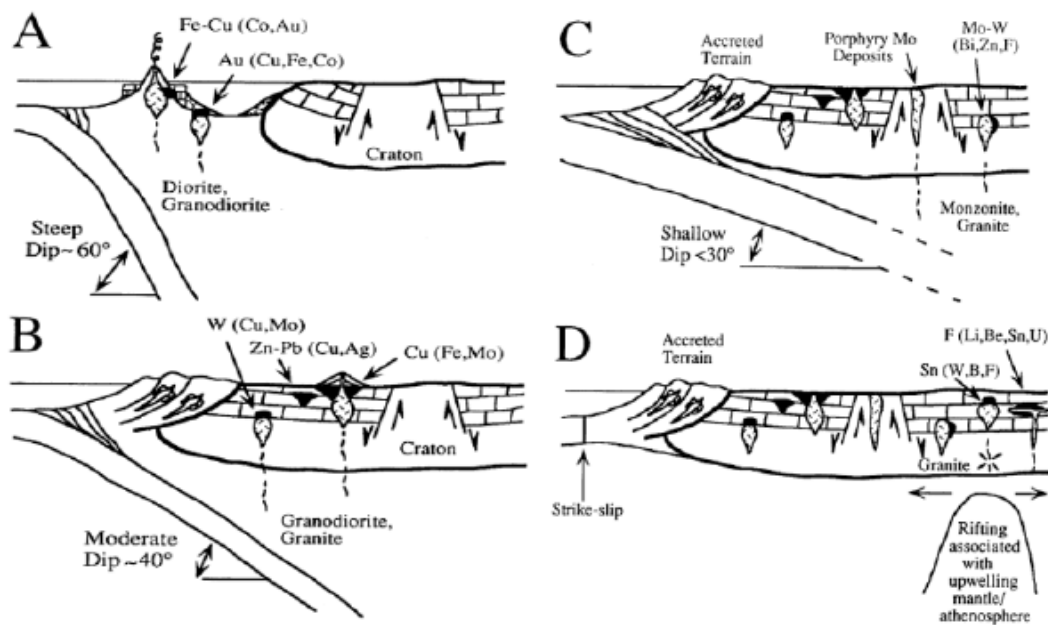
موقعیت ریفتی و ماغماتیسم کوهزایی گرایش به تولید اسکارن ها از نوع (Sn-W) دارند. در جزایر قوسی اقیانوسی حدواسط (از نظر ترکیب) در تأثیر متقابل سنگ های نفوذی مافیک با سنگ های آهکی ریفی، اسکارن های غنی از مگنتیت تولید می شود. اینودی و همکاران (۱۹۸۱) گزارش داده اند که خواص اصلی اسکارن ها در این محیط ها، همراهی آنها با نفوذی های دیوریتی و گابرویی، متاسوماتیسم Na و ترکیبات غنی از آهن و حضور Au, Cu, Co می باشد.

اسکارن های Cu, Zn, Pb, Cu عموماً در قوس های ماغمایی بالغ تر که بر روی پوسته قاره ای ساخته می شوند، تشکیل می گردد. آنها با استوک های کوارتز- مونزونیت یا نفوذی های دیوریتی و گرانودیوریتی همراه می باشند. عمق قرار گیری اسکارن ها نیز مهم است. اسکارن های تنگستان که در رابطه با باтолیت ها تشکیل می گردند در عمق ۵-۱۵ کیلومتر قرار می گیرند.

کانسارهای اسکارن کلسیک Fe-Cu فقط در سرزمهین های جزایر قوسی یافت می شوند. بسیاری از این اسکارن ها همچنین غنی از Au, Cr, Co, Ni می باشند. به علاوه بعضی ذخایر طلای اسکارن در حد اقتصادی، در حوضه های پشت قوسی همراه با قوس های ولکانیکی اقیانوسی می باشند. دلیلی که این اسکارن ها را از آن دسته همراه با نفوذی های گابرویی و دیوریتی جدا می کنند، فراوانی اندواسکارن، گسترش متاسوماتیسم سدیک و وفور Sn, Pb می باشند. کانسارهای همراه با قوس های ماغمایی وابسته به

فرورانش پوسته قاره ای گسترش وسیعی را نشان می دهند. نفوذی ها از نظر ترکیب، محدوده ای از دیوریت تا گرانیت را دارند. اگرچه اختلاف در انواع فلزات پایه اصلی، بیشتر تأثیر اختلاف در محیط زمین شناسی محلی (عمق تشکیل، ساختار و مسیر عبور سیال) را در مقایسه با تفاوت های پتروژنتیکی، نشان می دهد، در عوض اسکارن های طلا در این محیط ها همراه با نفوذی های به ویژه احیا شونده می باشند. اسکارن های تنگستن، آهن، مس پورفیری، سرب- روی، طلا و نقره مهمترین کانسارهایی هستند که در زون فروزانش حاشیه قاره ها کشف شده اند.

ماگماتیسم همراه با فروزانش سطحی با زاویه کم می تواند بیشتر با پوسته واکنش دهد و حرکت به طرف پایین قطعه باقی مانده فروزانش می تواند یک ریفتینگ محلی را باعث گردد. نفوذی ها عمدتاً از نظر ترکیب، گرانیتی می باشند و همراه اسکارن های غنی از W , Mo , Cu , Bi , Zn و به مقدار کمتر Fe می باشند. بسیاری از این اسکارن ها بهتر است که به عنوان اسکارن پلی متالیک با اهمیت محلی Au , As توصیف شوند. بعضی از اسکارن ها همراه با ماگماتیسم وابسته به فروزانش نیستند. این اسکارن ها می توانند همراه با ماگماتیسم نوع S و یا همراه با ریفتینگ کراتون قبلاً پایدار شده باشند. نفوذی ها از نظر ترکیب، گرانیتی هستند. اسکارن های همراه با این نفوذی ها غنی از قلع و فلوئور هستند ولی با این همه یک سری عناصر Be , B , Li , Bi , Zn , Pb , F , REE , W مهمان دیگر معمولاً حضور دارند که می توانند از اهمیت اقتصادی برخوردار باشند که این عناصر (مکی زاده، ۱۳۸۷).



شکل ۲- نمایش جایگاه زمین ساختی تشکیل اسکارن ها،(A) محیط فرورانش اقیانوسی پشت قوس، (B) محیط فرورانش قاره ای به همراه گوه های افزاینده، (C) محیط فرورانش تحولی با زاویه کم، (D) محیط پس از فرورانش یا ریفتینگ یا ریفتینگ قاره ای(Meinert, 1992).

مدل تشکیل کانسارهای اسکارن

mekanisim تشکیل اسکارن شامل یک سری فرآیندهاست که مرتبط با جایگزینی و تاریخچه انجماد توده نفوذی همراه با اسکارن می باشد به طوری که پیدایش اسکارن و کانسار اسکارن نتیجه تأثیر توأم گرمای توده های نفوذی و محلول های داغ ماقمایک یا گرمابی و واکنش آنها با سنگ های درون گیر می باشد. متغیرهای مهم در این خصوص شامل منطقه منشأ تولید ماقمای، حالت اکسیداسیون ماقمای، عمق جایگیری ماقمای و درجه تبلور ماقمای موقعي که از آب اشباع می گردد، می باشد (Misra⁸, ۲۰۰۰). توده های آذرین تأثیری دو گانه بر سنگ های درون گیر دارند، از یک سو سنگ ها را داغ کرده و سبب باز بلورین شدن آنها می شوند، بدین سان هاله هایی کما بیش پیوسته از دگرگونی حرارتی پیرامون نفوذی ها گسترش می یابد. در جریان این فرآیند سنگ آهک به مرمر تبدیل می شود. از سوی دیگر با آزاد شدن مواد فرار از نفوذی یا بخش های ژرفی آن فرآیندهای متاسوماتیک روی می دهند در نتیجه، درون این هاله، توده های اسکارن پدید می آیند (asmirnov, ۱۹۷۶).

⁸-Misra

بطور کلی کانسارهای اسکارن در نتیجه سه مرحله پی در پی تشکیل می شوند (اینودی و همکاران، ۱۹۸۱؛ مینرت، ۱۹۹۲) که عبارتند از:

- ۱- دگرگونی مجاورتی ایزوشیمیایی در حین مراحل ابتدایی جایگیری و تبلور توده نفوذی.
- ۲- متاسوماتیزم سیستم باز و دگرسانی در حین اشباع سیال ماقمایی.
- ۳- اختلاط با سیالات جوی در حین سرد شدن توده نفوذی.

لازم به ذکر است که مراحل اول و دوم، جزء مرحله پیشرونده^۹، و مرحله سوم جزء مرحله پسرونده^{۱۰} می باشد.

الف) مرحله پیشرونده، دگرگونی مجاورتی ایزوشیمیایی

با نفوذ توده مجاورتی به داخل سنگ های میزبان، دگرگونی مجاورتی رخ داده که حاصل آن تشکیل انواع بافت های هورنفلسی است. حین دگرگونی مجاورتی، سیالاتی مشتمل از H_2O و CO_2 که حاصل دگرگونی پیشرونده می باشند، طی این فرآیند به چرخش در می آیند. با دگرگون شدن سنگ های دولومیتی، یک منطقه بندی از کانی های دگرگونی با افزایش فاصله از توده نفوذی دیده می شود که از گارنت و کلینوپیروکسن (کانی های بی آب) شروع و با تشکیل ترمولیت- تالک و فلوگوپیت (کانی های آب دار) ادامه می یابد، اما در سنگ های آهکی، منطقه بندی کانی ها به صورت گارنت- وزوویانیت، ولاستونیت- مرمر می باشد (شکل ۳-۶- الف). همراه با این مرحله هیچ گونه کانسارسازی رخ نمی دهد، اگرچه فرآیند بی آب شدن که در نزدیکی حاشیه توده نفوذی رخ می دهد می تواند در افزایش تخلخل سنگ ها و چرخش آسان سیالات در طی مراحل بعدی کانسارسازی نقش مهمی را ایفا نماید (Robb^{۱۱}، ۲۰۰۵).

- ب) مرحله پیشرونده، متاسوماتیزم و جانشینی

در دومین مرحله از تشکیل ذخایر اسکارن، سیالات آب دار اشباع از بخار که حاصل جوشش اولیه و ثانویه ماقمایهای نفوذی می باشند، به درون هاله دگرگونی مجاورتی اطراف توده نفوذ می نمایند. مجموعه کانی

^۹-Prograde

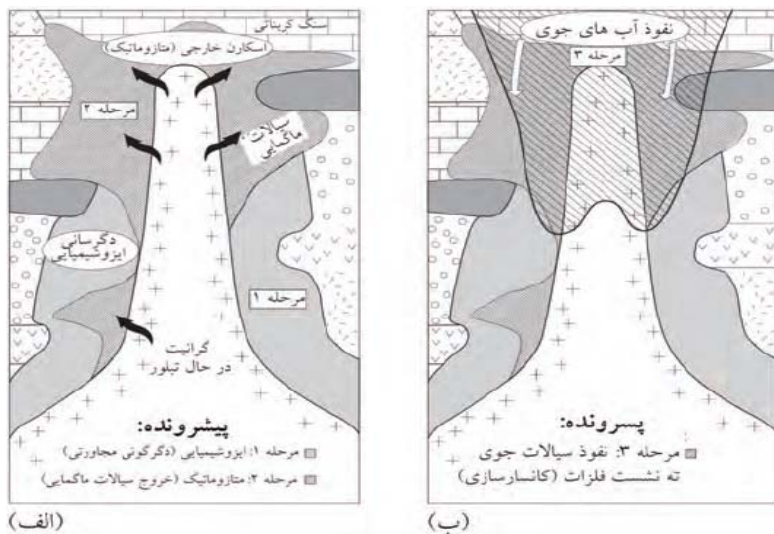
^{۱۰}-Retrograde

^{۱۱}-Robb

های متسوماتیک تشکیل شده در این مرحله، مشابه با کانی های می باشند که در طول دگرگونی مجاورتی Si, Al, Mg, Ca و Fe از طریق سیالات ماقمایی به درون رسوبات و سنگ های آهکی نفوذ کرده، در حالی که CO_2 از سنگ های میزبان خارج و به درون سیستم متسوماتیک وارد می شوند. کانی سازی سولفیدی در این مرحله انجام نمی شود، اگرچه مگنتیت و شلیت (در ذخایر اسکارن تنگستان) در آخرین مراحل متسوماتیزم پیشرونده تشکیل می گردد.

ج) مرحله پسروندی یا قهقرایی، نفوذ سیالات جوی و مرحله اصلی ته نشینی فلزات در این مرحله با نفوذ سیالات جوی، یک سری از واکنش های قهقرایی پیچیده و همچنین ته نشست فلزات پایه و قیمتی و نیز کانه سازی مرتبط با سولفیدها رخ می دهد (اینودی و همکاران، ۱۹۸۱). به علاوه، کانی های دگرگونی تشکیل شده در اثر فرآیند دگرسانی قهقرایی به کانی های جدیدی تبدیل می شوند که از جمله آنها می توان به تشکیل اپیدوت، بیوتیت، کلریت، پلاژیوکلاز، کلسیت و کوارتز (همگی به جای انواع مختلف گارنت)، ترمولیت- اکتینولیت و تالک (به جای پیروکسن) و سرپانتین (به جای اولیوین) اشاره نمود. کانه های سولفیدی، به انضمام مگنتیت و هماتیت به صورت افسان یا رگه ای تشکیل می شوند و مجموعه های مرحله پیشرونده را قطع می نمایند. مجموعه کانه های پیریت- کالکوپیریت- مگنتیت در نزدیکی توده نفوذی، و مجموعه کانه های بورنیت و اسفالریت- گالن با فاصله از توده نفوذی تشکیل می گردد (روب، ۲۰۰۵).

رخداد کانسارسازی در مراحل انتهایی تشکیل اسکارن، مبین آن است که ته نشست فلزات، به عواملی نظیر کاهش دمای سیالات کانه ساز (و در نتیجه، کاهش در قابلیت انحلال فلزات)، اختلاط سیالات ماقمایی و جوی، و در نهایت خنثی شدن سیالات کانسارساز در اثر واکنش با سنگ های کربناته بستگی دارد (روب، ۲۰۰۵). به علاوه، اختلاط سیالات کانه دار ماقمایی با سیالات جوی، و واکنش های اکسایش- کاهش مربوطه که در سیال رخ می دهد، همگی از جمله فرآیندهای مؤثر در تشکیل کانسارهای اسکارن به شمار می روند.



شکل ۳- مدل مراحل تکوین ذخایر اسکارن مرتبط با توده های نفوذی که در آن، سه مرحله متوالی تشکیل کانسارهای اسکارن نمایش داده شده است.

(الف) مراحل پیشوونده، (ب) مرحله پیشوونده (Corbett and Leach, 1998)

اندازه و عیار کانسارهای اسکارن

اگرچه کانسارهای اسکارن در مقایسه با کانسارهای سولفیدی با منشأ آتشفسانی (ولکانوژنیک) یا کانسارهای سولفید رسوبی و کانسارهای پورفیری، از ذخیره پایینی برخوردار می باشند، اما این کانسارها از نظر وجود بعضی از مواد معدنی، از اهمیت زیادی برخوردار می باشند. به عنوان مثال، تقریباً ۵۸ درصد از تنگستان دنیا از شلیت موجود در اسکارن ها به دست می آید. در اسکارن های حاوی تنگستان، مقدار WO_3 معمولاً بین ۴ درصد تا بیش از ۱ درصد متغیر است. یکی از مهم ترین کانسارهای اسکارن تنگستان در کمریند کوردیلرای آمریکای شمالی واقع گردیده که بیش از ۳۰ میلیون تن ذخیره داشته و عیار WO_3 در آن حدود ۹ درصد است.

در کانسارهای اسکارن قلع، عیار این عنصر بین $1/0$ تا $0/7$ درصد متغیر بوده و ذخیره آنها به بیش از ۳۰ میلیون تن بالغ می گردد. همچنین، ذخیره کانسارهای اسکارن آهن، بین ۲ تا ۳۰۰ میلیون تن متغیر بوده و عیار روی در اسکارن های حاوی این عنصر ممکن است به بیش از ۱۲ درصد برسد و این در حالی است که کانسارهای مذکور ممکن است حاوی عیار پایین تری از سرب باشند. در کنار بعضی از کانسارهای مس پورفیری دنیا ممکن است کانسارهای اسکارن مس نیز موجود باشد که عیار مس در آنها حدود ۱ درصد و ذخیره آنها بین ۵۰۰ تا ۵۰ میلیون تن متغیر است.

با توجه به آنچه ذکر شد اسکارن جنوب شرق الیگودرز از نوع اسکارن های متاسوماتیک و نزدیک به توده نفوذی، و بر اساس مشاهدات صحرایی و مجموعه کانیهای مشاهده ای میکروسکوپی از نوع اسکارن های کلسیک می باشد. از نظر جایگاه زمین ساختی در موقعیت جزایر قوسی و حاشیه فعال قاره ها قرار می گیرند. روند تشکیل این اسکارن را می توان در چهار مرحله زیر خلاصه نمود:

۱- در اثر مجاورت توده نفوذی با سنگ میزبان کربناتی و ایجاد هاله دگرگونی مجاورتی در سنگ های اطراف که تأثیر گرمایی ناشی از آن سبب دگرگونی ایزوشیمیایی و دگرسانی متاسوماتیک در سنگ میزبان و در نهایت سبب تشکیل مرمرهای کلسیتی و اسکارنوئید هورنفلسی شده است. طی این گامه اسکارن زایی، کانی های سیلیکات کلسیم بدون آب (گارنت و پیروکسن) تشکیل شده اند (دگرسانی پیشروندہ). شایان ذکر است که طی این گامه CO_2 بوجود می آید و بنابراین واکنش ها از نوع کربن زدا می باشند.

۲- همزمان با تبلور تدریجی توده نفوذی و جدایش سیال گرمایی داغ از آن، و نفوذ و انتشار آن ها درون شکستگی ها و زون های خرد شده سنگ های کربناتی میزبان حجم زیادی از SiO_2 , Fe , Mg وارد سیستم کربناتی شده است. در اثر واکنش های کربن زدایی، مقدار قابل ملاحظه ای از کانی های سیلیکاته بدون آب از جمله (گارنت و پیروکسن) تشکیل شده اند. در این مرحله فرآیندهای کربن زدایی که تا اندازه ای در مرحله قبل آغاز شده بود سبب ایجاد شکستگی ها و در نهایت افزایش نفوذپذیری سنگ های اسکارنی شده است. تشکیل ولستونیت در این مرحله، احتمالاً گویای دمای بالاتر از 550°C در منطقه است.

۳- با کاهش تدریجی دمای سیستم، احتمالاً در نتیجه آمیختگی آب های جوی و ماگمایی موجب ایجاد دگرسانی پیشروندہ در مجموعه کانی های سیلیکات کلسیم بدون آب (ولاستونیت، پیروکسن، گارنت) و به دنبال آن تشکیل کانی های سیلیکات آب دار (اپیدوت، ترمولیت-اکتینولیت، وزوویانیت)، کربناتی (کلسیت) و اکسید آهن (کانی اپک ممکن است سولفیدی هم باشد که شرایط احیاء را نشان می دهد) شده است. وجود کانی های اکسیدی نشان دهنده بالاتر بودن شرایط اکسیداسیون و پایین تر بودن درجه حرارت این گامه نسبت به گامه قبلی است.

۴- با افزایش CO_2 محیط که احتمالاً از فروپاشی بیشتر کربناتها طی واکنشهای پیشروندۀ رخ داده است، واکنش های برگشتی کربناته شدن صورت گرفته که سبب تبلور مجدد کلسیت شده است.

واکنش های دگرگونی

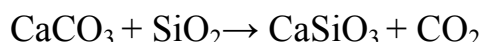
واکنش ها و مجموعه کانی های تشکیل شده در اسکارن به طور عمومی به ویژگی های سنگ مورد تهاجم، ترکیب سیالات متاسوماتیسم کننده و همچنین رژیم دما و فشار وابسته است (گلاکری و حسین زاده، ۲۰۰۶). بررسی های آزمایشگاهی که بر روی مجموعه کانی های تشکیل دهنده اسکارن در شرایط مختلف (دما، فشار، فوگاسیته ای اکسیدکربن و آب) انجام شده است، شرایط ترمودینامیکی تشکیل اسکارن را تا حدودی آشکار کرده است. شایان ذکر است که فشار کل حاکم بر سیستم در اکثر نمودارهای ترمودینامیکی برای تشکیل کانی های اسکارن ۵/۰ تا ۲ کیلوبار در نظر گرفته شده است. علت در نظر گرفتن چنین محدوده فشاری به این جهت است که در فشارهای بیشتر (اعماق زیاد) کربنات کلسیم نمی تواند به دو اکسید سازنده خود (CaO و CO_2) که برای تشکیل اسکارن لازم و ضروری است تجزیه شود، بنابراین در اکثر اسکارن ها فشار ۵/۰ تا ۲ کیلوبار پذیرفته شده است(گلاکری و حسین زاده، ۲۰۰۶). از آنجایی که سیستم اسکارن در اغلب موارد به صورت باز است بنابراین پتانسیل شیمیایی نیز از جمله عوامل ترمودینامیکی مؤثر در تشکیل اسکارن می باشد. ترکیب سیال ها در مراحل مختلف تشکیل اسکارن متغیر است به نحوی که CO_2 در گامه نخست H_2O در مرحله نهایی تشکیل اسکارن تأثیر به سزایی دارد. بررسی های میکروسکوپی زون های مختلف اسکارن نشان می دهد که فرآیندهای اسکارن زایی در منطقه مورد مطالعه طی دو گامه اصلی و مشخص رخ داده است که هر کدام از این گامه ها با مجموعه ای پاراژنزی و بافت های شاخص هر گامه، مشخص می شود. در ادامه به بررسی شرایط حاکم بر محیط در زمان تشکیل اسکارن جنوب شرق الیگودرز بر مبنای روابط میکروسکوپی بین کانی ها پرداخته خواهد شد.

۱- واکنش های مرحله پیشرونده

ولاستونیت:

ولاستونیت های منطقه مورد مطالعه در صحراء همراه با گارنت و پیروکسن در محل کنタکت توده نفوذی، مرمر و اسکارن دیده می شوند. این ولاستونیت ها در مقاطع طولی در نور PPL به صورت ستونی با رخ های ظریف، بیرنگ و دارای برجستگی پایین و در نور XPL دارای بیفرنژانس خاکستری تا زرد سری اول می باشند. ولاستونیت ها اکثراً همراه با وزوویانیت و پیروکسن ها یافت می شوند. در اکثر مقاطع مشاهده می شود که ولاستونیت ناپایدار و در حال جانشینی بخشی توسط کلسیت می باشد که می تواند حاکی از افزایش فوگاسیته CO_2 و کاهش دما باشد. با توجه به این که افزایش فوگاسیته CO_2 محیط که احتمالاً از فروپاشی کانی های سیلیکات کلسیم (پیروکسن، گارنت، ولاستونیت) رخ داده است و در طی این واکنش که به صورت یک واکنش Feed Back یا بازخور می باشد Ca^{+2} زیادی در داخل سیال آزاد می شود که سبب تبلور کلسیت شده است.

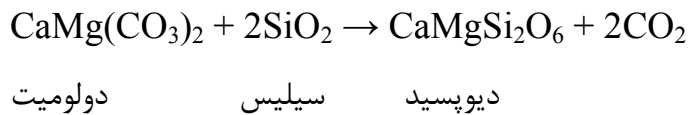
در اثر نفوذ سیالات ماقمایی غنی از SiO_2 به درون درز و شکافهای سنگ میزان کربناتی CaSiO_3 با واکنش داده و ولاستونیت طبق واکنش زیر تشکیل می شود. تشکیل ولاستونیت از کلسیت و کوارتز یک واکنش کربن زدایی است که برای پیشرفت آن باید CO_2 کاهش یابد. فشار زیاد CO_2 موجب می شود ولاستونیت در دمای بالاتر تشکیل شود به این صورت که با افزایش مقادیر CO_2 از ۵٪ به ۱۰٪ دمای تشکیل ولاستونیت از حدود 500°C به حدود 700°C می رسد. وجود ولاستونیت در نمونه های اسکارنی جنوب شرق الیگودرز(میرآباد) می تواند نشانگر تشکیل مجموعه گارنت و پیروکسن در دمای بین 550°C و 700°C و فوگاسیته اکسیژن -15°C تا -24°C باشد.



کلینوپیروکسن:

کلینوپیروکسن از مهمترین و فراوان ترین کانی کالک سیلیکاته در اسکارن جنوب شرق الیگودرز می باشد که معمولاً جزء کانی های گامه نخست دگرگونی (گامه پیشرونده) تشکیل اسکارن می باشد. پیروکسن در

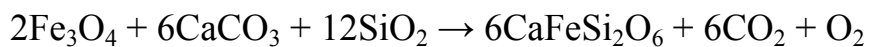
اسکارن منطقه مورد مطالعه یکی از فراوان ترین کانی های کالک سیلیکاته می باشد، که نسبت به گارنت فراوانی کمتری دارد. چرا که پیروکسن های اولیه در تمام مراحل اسکارن زایی پایدار نبوده و به گارنت تبدیل می شود. در سنگ های مورد مطالعه بقایایی از پیروکسن با حاشیه تحلیل رفته را می توان به صورت ادخال در داخل گارنت و در کنار آنها مشاهده کرد. پیروکسن همچنین در داخل سایر کانی های تأخیری همچون وزوویانیت حضور دارد. در پیروکسن اسکارن بلورهای درشت پیروکسن به صورت متراکم مجاور هم قرار گرفته و بافت گرانوبلاستیک را به وجود آورده اند بر اساس مطالعات میکروسکوپی پیروکسن ها اغلب به صورت ادخالهای ریز در بلورهای گارنت دیده می شوند که نشان دهنده تبلور زودتر آنها نسبت به گارنت می باشد. بر اساس نتایج آنالیز شیمیایی الکترونマイکروپروپ انجام شده توسط یوسفی (۱۳۹۴) ترکیب کلینوپیروکسن ها در محدوده ی دیوپسید-هدنبرژیت واقع شده است. این کانی معمولاً در اسکارن ها در فشار ۲ کیلوبار و دمای بالای 520°C و CO_2 بالای ۰/۷ تشکیل می گردد (بوخر و فری، ۱۹۹۴). جهت تشکیل دیوپسید واکنش زیر پیشنهاد می شود:



Mg مورد نیاز جهت واکنش فوق در صورت حضور دولومیت از پروتولیت مرمری و یا توده نفوذی تأمین می شود. با توجه به کلسیک بودن اسکارن مورد مطالعه، انتظار می رود محتواهی Mg این سنگها پایین باشد، و احتمالاً ترکیب این پیروکسن ها عمدتاً به قطب هدنبرژیت نزدیک تر باشد. براوان و نسبیت^{۱۲} (۱۹۸۷) معتقدند که در فرآیند تکامل اسکارن، در مراحل اولیه و دما بالا، Mg وارد ترکیب پیروکسن می گردد. به تدریج با پیشرفت روند تکامل اسکارن زایی و کاهش دما، این کانی ها از Fe غنی می گردند، و لذا تأثیر سیالات حاوی Fe_2O_3 و SiO_2 بر روی سنگ های آهکی منجر به تشکیل هدنبرژیت در اسکارن متاسوماتیکی می شود (دیر و همکاران^{۱۳}، ۱۹۹۱).

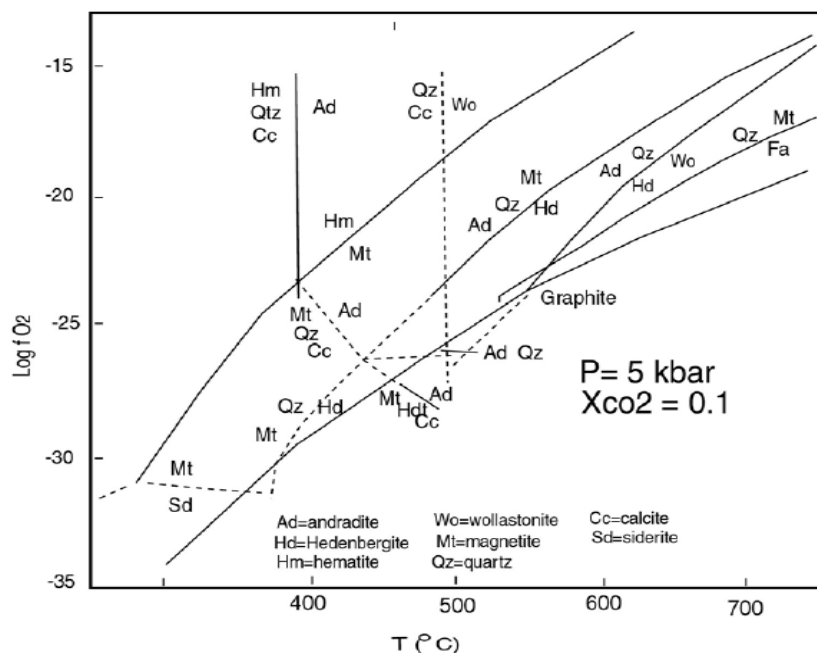
¹²-Brown and Nesbitt

¹³-Deer et al



مگنتیت کلسیت هدنبرژیت

فاز دیوپسید در فشار ۱۰۰۰ بار و در حرارت 475°C پدیدار می‌گردد (تریسی و فروست، ۱۹۹۱). جهت تعیین محدوده دما و فشار واکتیویته اکسیژن در زمان تشکیل کانی‌های اسکارن، با توجه به کانی‌های مشاهده شده می‌توان از نمودار روابط فازی Ca-Fe-Si-C-O-H استفاده نمود. این نمودار برپایه ۰/۵ کیلوبار فشار و $\text{XCO}_2 = ۰/۱$ بنا شده است (شکل ۱). طبق این نمودار هدنبرژیت در دمای $380 - 430^{\circ}\text{C}$ و fO_2 پایین تشکیل شده است. واکنش تشکیل پیروکسن باعث بالا رفتن فوگاسیته اکسیژن می‌شود که نتیجه آن ناپایدار شدن پیروکسن و تشکیل گارنت است.



شکل ۱- نمودار روابط فازی T - $\log fO_2$ در 1 atm و 500°C خواص فشار ۵۰۰ بار برای سامانه Ca-Fe-Si-C-O-H (Einaudi, 1982).

گارنت:

گارنت های موجود در اسکارن منطقه از لحاظ شکل و خصوصیات نوری به صورت های مختلف در مقاطع میکروسکوپی مشاهده می شود بررسی های انجام شده حاکی از حضور چندین نسل گارنت با ویژگی های

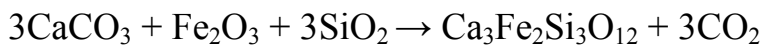
14-Tracy and Frost

میکروسکوپی متفاوت است. بر اساس شکل این گارنت‌ها به سه دسته شکل دار، بی‌شکل و رگه‌ای تقسیم می‌شوند. بر اساس ویژگی‌های نوری به دو نوع گارنت‌های ایزوتروپ و نسبتاً ایزوتروپ تقسیم می‌شوند. این کانی همراه با پیروکسن در زون‌های اسکارنی به عنوان یک کانی سیلیکات کلسیم بدون آب در مرحله پیشرونده اسکارن زایی تشکیل شده است. واکنش پیروکسن باعث بالا رفتن فوگاسیته اکسیژن می‌شود که نتیجه آن ناپایدار شدن پیروکسن و تشکیل گارنت است. البته تشکیل گارنت به صورت اولیه نیز امکان پذیر می‌باشد، اما شواهد بافتی و باقی ماندن بقاوی‌پیروکسن‌ها در بین گارنتهای بیشتر تأیید کننده تشکیل آنها در اثر واکنش با پیروکسن می‌باشد. گارنت‌ها اغلب قادر ساخت منطقه‌ای بوده و گاهی بقاوی‌ای از کلینوپیروکسن در داخل آنها مشخص می‌باشد. بر اساس نتایج تجزیه شیمیایی ترکیب شیمیایی گارنت‌های اسکارن میرآباد از نوع محلول جامد (آندرادیت-گروسولار) می‌باشد. تریسی و فروست (۱۹۹۱) واکنش زیر را برای پیدایش گروسولار پیشنهاد کرده‌اند:



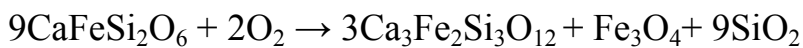
گروسولار سیلیسیت آنورتیت

دیر و همکاران واکنش زیر را جهت تشکیل آندرادیت پیشنهاد کرده‌اند:



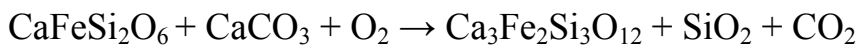
همانطور که ذکر گردید با افزایش فوگاسیته اکسیژن، هدبیرزیت به سرعت ناپایدار شده و در دمای -480°C

۵۰۰ طبق واکنش زیر به آندرادیت تبدیل می‌شود:



هدبیرزیت آندرادیت مگنتیت

کاتو^{۱۵} (۱۹۹۱) واکنش زیر را جهت تشکیل آندرادیت از هدبیرزیت پیشنهاد نموده است:



آندرادیت هدبیرزیت کلسیت

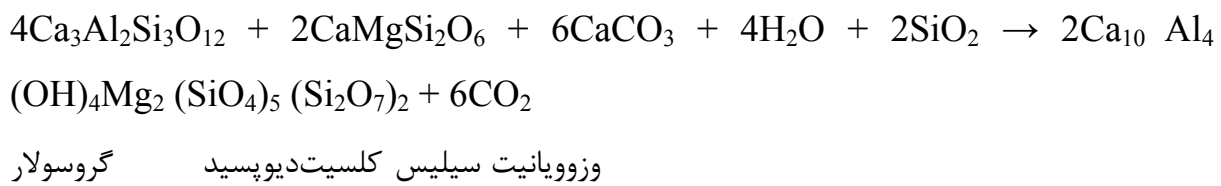
¹⁵- kato

همان طور که در شکل ۱ مشاهده می شود آندرادیت میدان پایداری وسیعی از 390°C تا 700°C و فوگاسیته اکسیژن -15°C تا -24°C را نشان می دهد. آندرادیت توسط مجموعه ولاستونیت+هدنبرژیت در دمای $T > 550^{\circ}\text{C}$ (بسته به O_2f) در حضور کوارتز جانشین می شود.

۲- واکنش های مرحله پسرونده

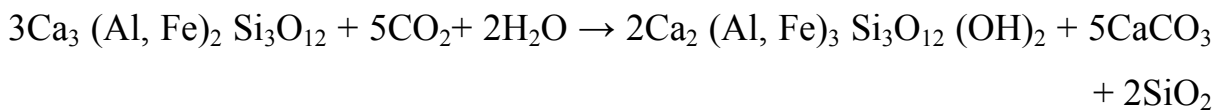
وزوویانیت (ایدوکراز):

این کانی در اسکارن منطقه به صورت درشت بلورهای شکل دار اکثراً همراه با گارنت و کلینوپیروکسن دیده می شود. رورشی وزوویانیت در اطراف گارنت و کلینوپیروکسن و نیز وجود بقایای گارنت و کلینوپیروکسن با حاشیه تحلیل رفته در داخل بلورهای وزوویانیت بیانگر تأخیری بودن آن می باشد. وزوویانیت در نتیجه افزایش XH_2O در محیط تشکیل می شود که می تواند از طریق (آب های ماقمایی و جوی) (تأمین شود). کانی وزوویانیت در اسکارن جنوب شرق الیگودرز از جانشینی پیروکسن و گارنت در دگرسانی پسرونده اسکارن زایی تشکیل شده است. براساس مطالعات هوچلا و همکاران (۱۹۸۲) وزوویانیت در فشار ۱ تا ۲ کیلوبار و درجه حرارت بیش از 350°C تشکیل می گردد، و تشکیل آن با افزایش H_2O نسبت مستقیم و با CO_2 نسبت عکس دارد. چنان چه XCO_2 به ۵٪ برسد وزوویانیت به گروسولار، دیوپسید، هدنبرژیت و ولاستونیت تبدیل می شود. ایتو و آرم (۱۹۷۰) شرایط پیدایش وزوویانیت را در دماهای 380°C تا 750°C در فشارهای ۰/۴۵ تا ۲/۷ کیلوبار در محیطی با آب خالص و عاری از آلکالی در نظر گرفته اند. بر اساس شواهد میکروسکوپی مشاهده می شود که بین گارنت، پیروکسن و وزوویانیت عدم تعادل بافتی وجود دارد که خود می تواند نشانگر تشکیل وزوویانیت به خرج گارنت و پیروکسن باشد. تشکیل وزوویانیت توسط واکنش زیر قابل توجیه است (دیر و همکاران، ۱۹۹۲):



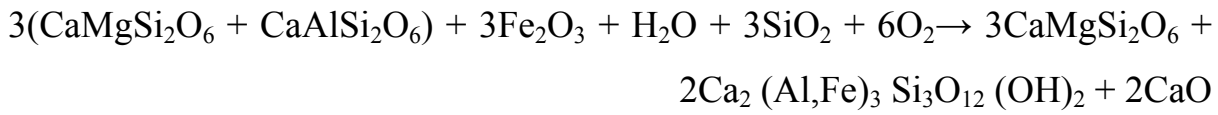
اپیدوت:

کانی اپیدوت در اسکارن منطقه مورد مطالعه به دو صورت دیده می شود. گروهی از این اپیدوت ها اولیه بوده و در زمینه ای مشکل از کوارتز و کلسیت تشکیل می شوند که اکثراً کلینوزوئیزیت بوده و با رنگ اینترفرانس آبی مشاهده می شوند. گروه دیگر اپیدوت های حاصل از دگرسانی کانی های مرحله پیشرونده اسکارن زایی هستند. تبلور کانی های گروه اپیدوت در حرارت پایین صورت می گیرد و فراوانی اپیدوت در سنگ های منطقه نشان دهنده فوگاسیته بالای اکسیژن محیط است. در اسکارن مورد مطالعه این کانی نیز در گامه پسروونده اسکارن زایی تشکیل شده است. بر اساس مشاهدات میکروسکوپی مشخص گردید که تشکیل این کانی به صورت مستقل از محلول گرمابی و هم به صورت جانشینی صورت گرفته است. جهت تشکیل اپیدوت در سیستم اسکارن باید فوگاسیته اکسیژن در محیط به بالاترین حد خود برسد (شیمازاکی^{۱۶}، ۱۹۸۲) که این میزان می تواند در مراحل نهایی اسکارنی شدن از واکنشهای اسکارن زایی رخداد. در طول این مرحله یون Ca^{+2} به تدریج از کانی کالک سیلیکاته شسته شده و به صورت کلسیت (کانی های کربناته) تشکیل می شوند. تشکیل اپیدوت طبق واکنش زیر صورت می گیرد (شیمازاکی، ۱۹۸۲):



گارنت اپیدوت کلسیت سیلیس

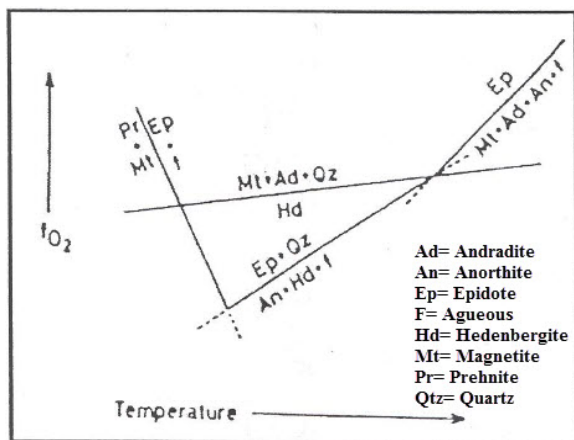
اپیدوت همچنین می تواند طبق واکنش زیر از کلینوپیروکسن تشکیل شود (هلاند و پاول^{۱۷}، ۱۹۹۰). جانشینی اپیدوت در پیروکسن حاکی از تکاپوی زیاد Fe^{3+} در در سیال مربوطه است.



پیروکسن اپیدوت

¹⁶-Shimazaki

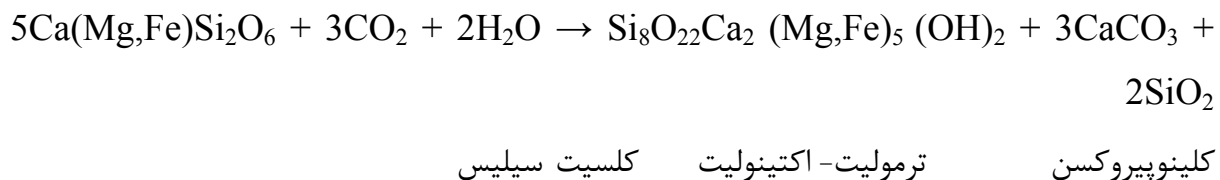
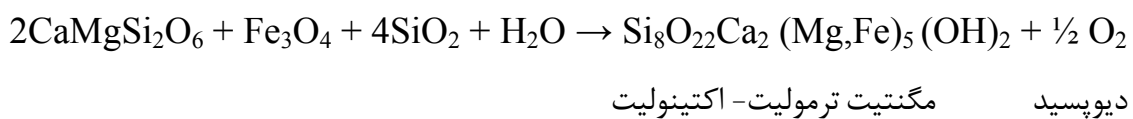
¹⁷-Holland and Powell

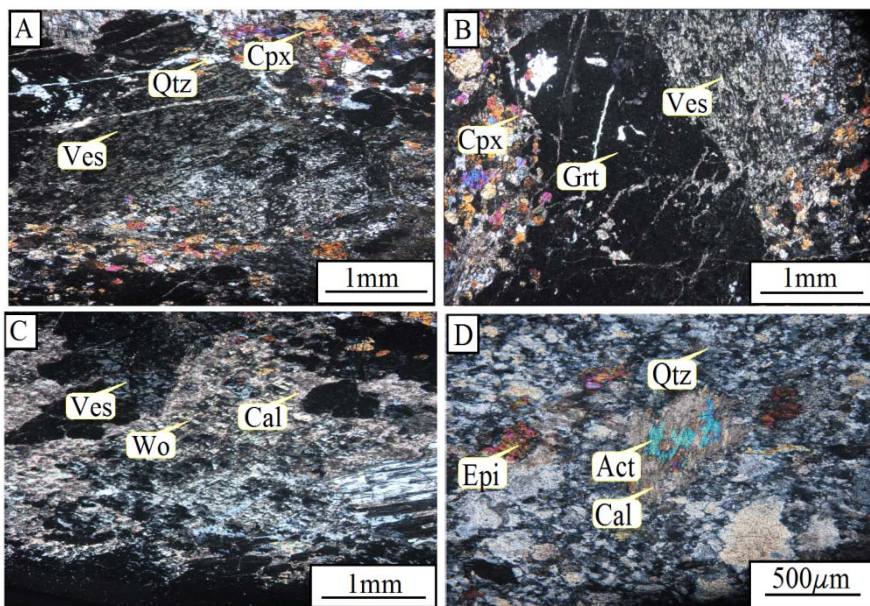


شکل ۲: رابطه شماتیک $f\text{O}_2 - T$ برای کانی اپیدوت (Shimazaki, 1982 به نقل از Liou, 1973).

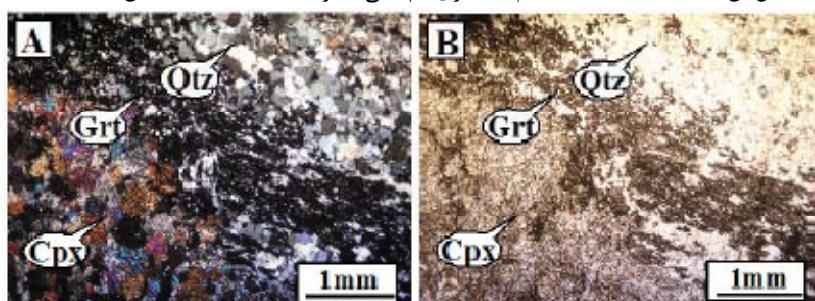
ترمولیت-اکتینولیت:

این کانی به صورت رشتہ ای و سوزن های نازکی در زمینه سنگ حضور دارد. با توجه به کلسیک بودن اغلب کانی های آلومینوسیلیکاته موجود در اسکارن مورد مطالعه و با توجه به بررسی های میکروسکوپی از جمله پلئوکروئیسم سبز و برجستگی نسبتاً بالا، آمفیبول تشکیل شده در این اسکارن اغلب از نوع اکتینولیت می باشد. ترمولیت-اکتینولیت نیز در گامه پسرونده اسکارن زایی در اثر دگرسانی کلینوپیروکسن (اورالیتی شدن) حاصل می شود. ترمولیت در درجه حرارت 540°C از $\text{XCO}_2 = 50$ تا 30 دیوپسید تشکیل می شود (وینکلر، ۱۹۷۶). واکنش های زیرجهت تشکیل ترمولیت-اکتینولیت پیشنهاد می شود:

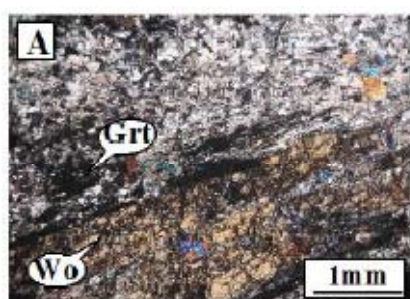




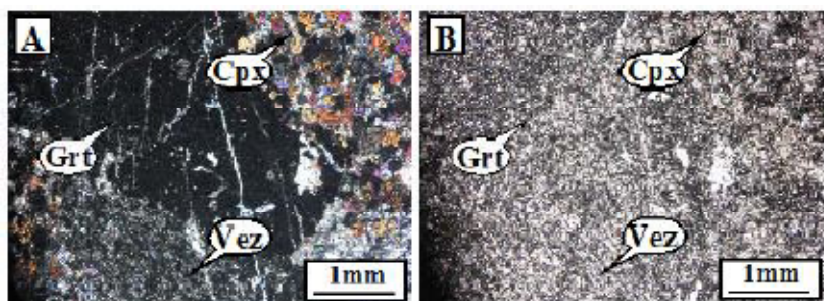
شکل ۳- (A) جانشینی پیروکسن توسط وزوویانیت (*XPL*), (B) دگرسانی پسروندہ، جانشینی گارنت توسط وزوویانیت، پیروکسنها نیز بتدریج توسط گارنت در حال جانشینی اند (*XPL*), (C) دگرسانی پسروندہ و تبدیل ولاستونیت به کلسیت و کوارتز (*XPL*), (D) دگرسانی ترمولیت - اکتینولیت و تبدیل آن به کلسیت (*XPL*). عالیم اختصاری نام کانی ها از Kretz (۱۹۸۲) اقتباس شده است.



شکل ۴: نمایی از کانی گارنت رگه ای همراه با کلینوپیروکسن



شکل ۵: نمایی از کانی ولاستونیت همراه با گارنت رگه ای



شکل ۶: نمایی از مرز نامتعادل بین کلینوپیروکسن و گارنت و وزوویانیت

با توجه به بررسی های صحرایی و مطالعات کانی شناسی به نظر می رسد که تشکیل اسکارن مورد مطالعه

در گامه های زیر شکل گرفته است:

۱- در اثر مجاورت توده نفوذی با سنگ میزبان کربناتی و ایجاد هاله دگرگونی مجاورتی در سنگ های اطراف که تأثیر گرمایی ناشی از آن سبب دگرگونی ایزوشیمیایی و دگرسانی متاسوماتیک در سنگ میزبان و در نهایت سبب تشکیل مرمرهای کلسیتی و اسکارنوئید هورنفلسی شده است. طی این گامه اسکارن زایی، کانی های سیلیکات کلسیم بدون آب (گارنت و پیروکسن) تشکیل شده اند (دگرسانی پیشروندہ). شایان ذکر است که طی این گامه CO_2 بوجود می آید و بنابراین واکنش ها از نوع کربن زدا می باشند.

۲- همزمان با تبلور تدریجی توده نفوذی و جدایش سیال گرمابی داغ از آن، و نفوذ و انتشار آن ها درون شکستگی ها و زون های خرد شده سنگ های کربناتی میزبان حجم زیادی از SiO_2 و Fe و Mg وارد سیستم کربناتی شده است. در اثر واکنش های کربن زدایی، مقدار قابل ملاحظه ای از کانی های سیلیکاته بدون آب از جمله (گارنت و پیروکسن) تشکیل شده اند. در این مرحله فرآیندهای کربن زدایی که تا اندازه ای در مرحله قبل آغاز شده بود سبب ایجاد شکستگی ها و در نهایت افزایش نفوذپذیری سنگ های اسکارنی شده است. تشکیل ولاستونیت در این مرحله، احتمالاً گویای دمای بالاتر از $550^\circ C$ در منطقه است.

۳- با کاهش تدریجی دمای سیستم، احتمالاً در نتیجه آمیختگی آب های جوی و ماگمایی موجب ایجاد دگرسانی پیشروندہ در مجموعه کانی های سیلیکات کلسیم بدون آب (ولاستونیت، پیروکسن، گارنت) و به دنبال آن تشکیل کانی های سیلیکات آب دار (اپیدوت، ترمولیت-اکتینولیت، وزووبیانیت)، کربناتی (کلسیت) و اکسید آهن (کانی اپک ممکن است سولفیدی هم باشد که شرایط احیاء را نشان می دهد) شده است. وجود کانی های اکسیدی نشان دهنده بالاتر بودن شرایط اکسیداسیون و پایین تر بودن درجه حرارت این گامه نسبت به گامه قبلی است.

۴- با افزایش CO_2 محیط که احتمالاً از فروپاشی بیشتر کربناتها طی واکنشهای پیشروندہ رخ داده است، واکنش های برگشتی کربناته شدن صورت گرفته که سبب تبلور کلسیت شده است.

ب- مقایسه ژئوشیمیایی گرانیت‌های جنوب شرق الیکودرز با سایر گرانیت‌های اسکارنی جهان

از نظر پتانسیل کانه زایی

ارتباط بین ترکیب شیمیایی توده نفوذی و نوع اسکارن توسط محققان مختلفی بررسی شده است (*et al.*, ۱۹۹۵؛ *Meinert*, ۱۹۹۵؛ *Ray et al.*, ۲۰۰۰؛ *Kuscu* ۲۰۰۲). دلیل چنین ارتباطی، رابطه زیشی بین فرآیندهای مagmaی و کانه زایی است. *Kuscu* و همکاران (۲۰۰۲) برای شناسایی پتانسیل اقتصادی اسکارن‌های آناتولی مرکزی ترکیه، مطالعات صحرایی و آنالیزهای ژئوشیمیایی بسیاری بر روی توده‌های نفوذی مرتبط با اسکارن‌ها انجام دادند و نمودارهای هارکر را رسم نمودند. داده‌های ژئوشیمیایی مربوط به ذخایر اسکارنی بزرگ دنیا و میانگین داده‌های ژئوشیمیایی مربوط به اسکارن‌های *Au*, *Fe*, *Cu* و *W* توسط (*Meinert*, ۱۹۹۵) برای انواع ذخایر اسکارنی ارائه شده و بر روی نمودارهای هارکر رسم شده اند.

عناصر اصلی موجود در نفوذی‌های مرتبط با اسکارن‌های آهن، طلا و مس در مقایسه با نفوذی‌های مرتبط با اسکارن‌های قلع و تنگستن اختلافات ژئوشیمیایی سیستماتیک نشان می‌دهند و از نظر ژئوشیمیایی در دو گروه جداگانه قابل مقایسه اند. توده‌های نفوذی مرتبط با اسکارن‌های مولیبدن نیز حد واسطه بین این دو گروه قرار می‌گیرند (*Ray et al.*, ۲۰۰۰). توده‌های نفوذی مرتبط با اسکارن‌های آهن، طلا و مس دارای کمترین مقدار SiO_2 و بیشترین مقدار Na_2O+K_2O و دارای $FeOt$, CaO , MgO , Al_2O_3 ترکیب سنگ شناختی شامل گابرو و گرانوپوریت تا تونالیت و از نظر محتوای آلومین متالومین می‌باشند. در مقابل توده‌های نفوذی مرتبط با اسکارن‌های قلع و تنگستن دارای بیشترین مقدار SiO_2 و کمترین مقدار Na_2O+K_2O و دارای $FeOt$, CaO , MgO , Al_2O_3 شامل گرانیت و آداملیت می‌باشند (*Ray et al.*, ۲۰۰۰).

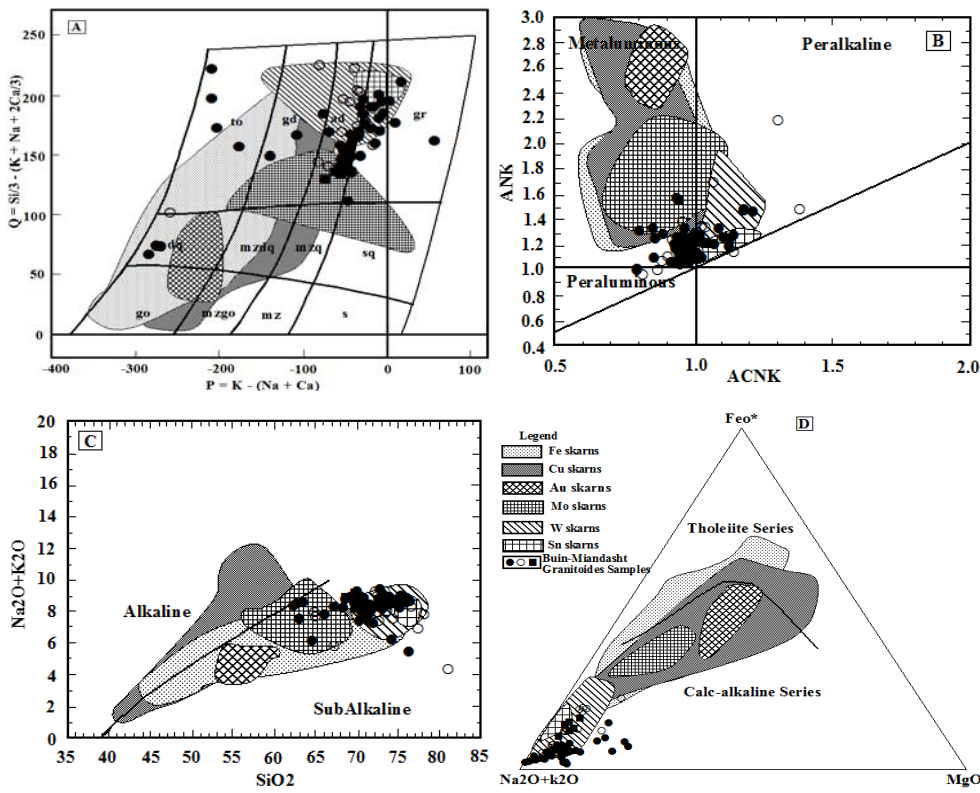
در نمودار کاتیونی *Le Fort* و *Debon* (۱۹۸۳) اکثر سنگ‌های گرانیت‌هایی منطقه در محدوده گرانیت و آداملیت و تعداد کمی از نمونه‌ها در محدوده گرانوپوریت، تونالیت و کوارتزپوریت قرار می‌گیرند. در این نمودار وقتی ترکیب توده نفوذی منطقه را با توده‌های نفوذی همراه با اسکارن‌های فلزات پایه مقایسه کنیم

اکثر نمونه ها در محدوده پلوتون های همراه با اسکارن های تنگستن، مولیبden و قلع قرار می گیرند (شکل ۷A). در نمودار *Piccoli* و *Maniar* (۱۹۸۹)، همانگونه که ذکر گردید، نمونه ها از نظر درجه اشباع شدگی از آلومین، متالومین تا پرآلومین هستند و لذا مشابه توده های نفوذی همراه با اسکارن های تنگستن، مولیبden و قلع می باشند (شکل ۷B). بر اساس نمودار *Irvine* و *Baragar* (۱۹۷۱) کلیه نمونه ها در محدوده ساب آلکالن قرار گرفته اند در این نمودار نیز ترکیب توده نفوذی مشابه با پلوتون های همراه با اسکارن های تنگستن، مولیبden و قلع می باشد (شکل ۷C) در نمودار *AFM* نیز ترکیب گرانیتوئیدهای منطقه نزدیک به قطب $Na_2O + K_2O$ و در قلمرو سری های کالک آلکالن و در محدوده اسکارن های تنگستن و قلع قرار می گیرد (شکل ۷D). شایان ذکر است که بیشتر توده های نفوذی که کانسارهای اسکارنی را می سازند، از نوع سری های ماگمایی کالک آلکالن هستند. اکثر این توده ها از نوع متالومینوس تا پرآلومینوس بوده و هیچ توده مرتبط با کانسار اسکارنی از نوع پرآلکالن تاکنون یافت نشده است (Meinert, 1995).

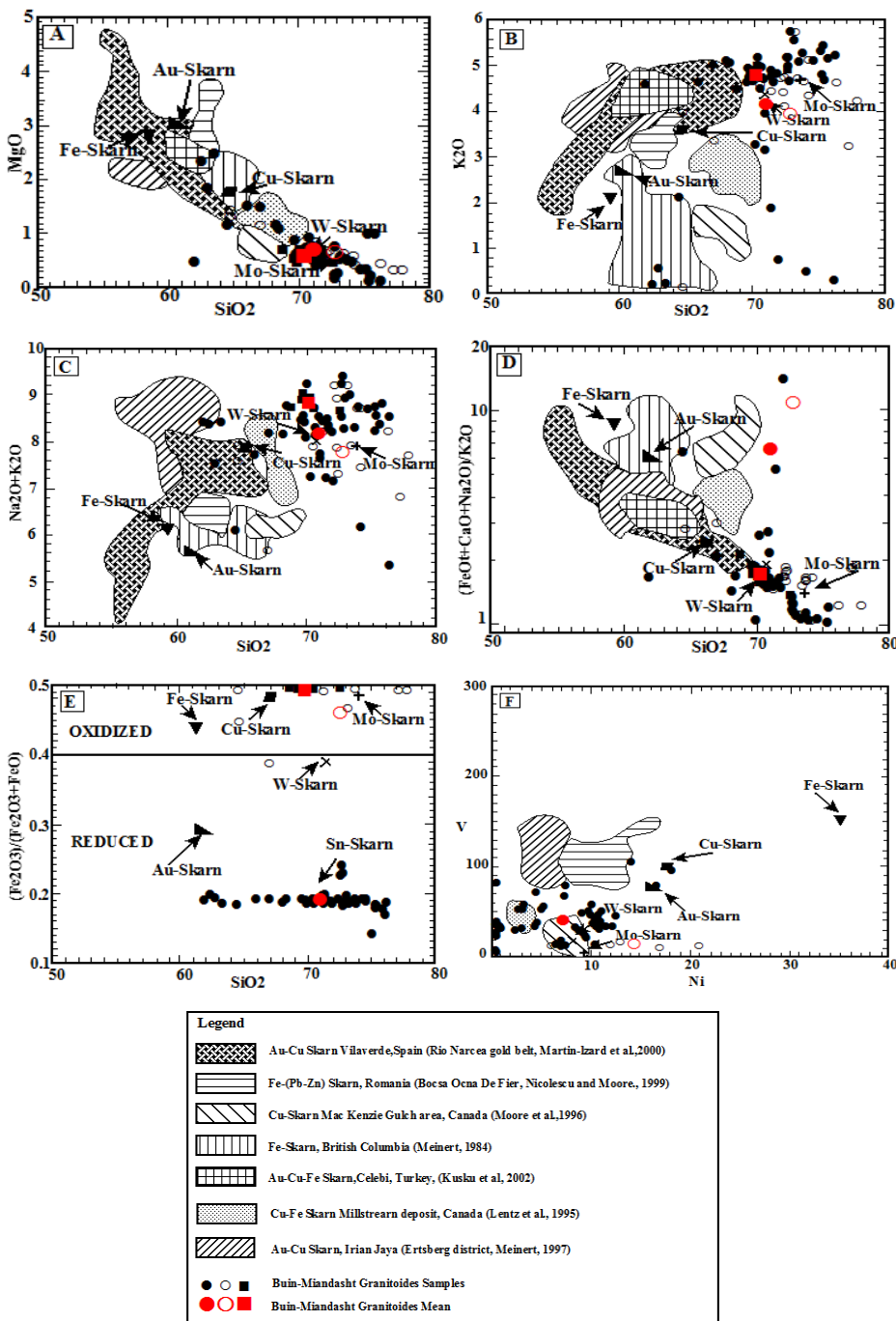
از نظر جایگاه زمین ساختی موقعیت ریفتی و ماگماتیسم کوهزایی گرایش به تولید اسکارن های تنگستن و *Bowden* و *Hamkaran* (۱۹۸۴) و نمودار کاتیونی *Pearce* و *Batchelor* (۱۹۸۵) اکثر نمونه ها در محدوده اسکارن های تنگستن و قلع قرار می گیرند.

Kuscum و *Hamkaran* (۲۰۰۲) مشخص کردند که نمودارهای MgO در برابر K_2O ، SiO_2 در برابر $Na_2O + K_2O$ و Ni در برابر $FeOt + CaO + Na_2O / K_2O SiO_2$ و V در برابر SiO_2 بهترین تمایز بین گرانیتوئیدهای اسکارنی آهن، مس، طلا، تنگستن و مولیبden را نشان می دهند. لذا برای مقایسه ژئوشیمیایی گرانیتوئیدهای مورد مطالعه با سایر گرانیتوئیدهای اسکارنی جهان از نظر پتانسیل کانه زایی داده های ژئوشیمیایی توده نفوذی بر روی نمودارهای متغیر هارکر ترسیم شده اند (شکل ۸). توده های نفوذی همراه با اسکارن های آهن، طلا و مس در مقایسه با توده های نفوذی همراه با کانسارهای اسکارن قلع، مولیبden و تنگستن دارای MgO بیشتر و K_2O و SiO_2 کمتری هستند. میانگین MgO توده نفوذی گرانیتوئید جنوب شرق الیگودرز در حدود ۶۸٪ می باشد. الگوی پراکندگی سنگ های گرانیتوئیدی منطقه

در نمودار MgO در برابر SiO_2 مشابه گرانیت‌وئیدهای همراه با اسکارن‌های قلع، مولیبden و تنگستن می‌باشد (شکل ۸A). میانگین K_2O گرانیت‌وئیدهای اسکارنی آهن، مس، طلا، مولیبden و تنگستن به ترتیب $4/53\%$ ، $4/06\%$ ، $2/5\%$ ، $3/6\%$ ، $2/1\%$ گزارش شده است (Meinert, 1995). میانگین O توode نفوذی K_2O منطقه مورد مطالعه $4/15\%$ ، یعنی نزدیک به میانگین اسکارن‌های مولیبden و تنگستن می‌باشد. الگوی پراکندگی داده‌ها در نمودار K_2O در برابر SiO_2 پیرامون اسکارن‌های تنگستن و مولیبden است (شکل ۸B). میانگین (Na_2O+K_2O) گرانیت‌وئیدهای اسکارنی آهن، مس، طلا، قلع-مولیبden و تنگستن به ترتیب برابر $1/6\%$ ، $5/6\%$ ، $7/6\%$ و $8/0\%$ می‌باشد. میانگین (Na_2O+K_2O) نمونه‌های جنوب شرق الیگودرز حدود $8/11\%$ است و از این نظر قابل مقایسه با اسکارن‌های تنگستن، قلع و مولیبden می‌باشد. در نمودار (Na_2O+K_2O) در برابر SiO_2 الگوی پراکندگی نمونه‌ها در محدوده اسکارن‌های تنگستن و مولیبden قرار می‌گیرند (شکل ۸C). بالا بودن مجموع قلیایی کل نمونه‌های منطقه مورد مطالعه می‌تواند ناشی از دگرسانی پتاسیک توode نفوذی باشد. در نمودار $(FeOt+CaO+Na_2O)/K_2O$ در برابر SiO_2 ($FeOt+CaO+Na_2O)/K_2O$) از الگوی پراکندگی نمونه‌ها پیرامون گرانیت‌وئیدهای اسکارن‌های تنگستن و مولیبden قرار دارند (شکل ۸D). از میان توode‌های نفوذی همراه با انواع اسکارن‌ها، نفوذی‌های همراه با اسکارن‌های قلع، طلا و تنگستن دارای حالت احیایی و نفوذی‌های همراه با اسکارن‌های مس، آهن و مولیبden دارای حالت اکسیدان هستند. این حالت در نمودار $(Fe_2O_3)/(Fe_2O_3+FeO)$ در مورد توode نفوذی منطقه مشابه توode نفوذی همراه با اسکارن‌های قلع حالت احیایی نشان می‌دهد (شکل ۸E).



شکل ۷-۷ نمودار طبقه بندی کاتیونی (Debon and Le Fort, 1983)، اکثر نمونه ها در محدوده گرانیت و آداملیت قرار گرفته اند، (B) نمودار درجه اشباع شدگی از آلومینیوم (Maniar and Piccoli, 1989)، نمونه ها در محدوده متاآلومین تا پرآلومین قرار می گیرند، (C) نمودار تفکیک سنگ های آذرین سری آلکالن از ساب آلکالن (Irvine and Baragar, 1971)، (D) نمودار تفکیک سنگ های سری ماغمایی کالک آلکالن از تولئیتی (Irvine and Baragar, 1971). محدوده های ترکیبی توده های نفوذی همراه با اسکارن های Fe, Cu, Au, Mo, W, Sn آورده شده، از Meinert (۱۹۹۵) اقتباس شده است. در نمودارها نماد (O) معرف نمونه های گرانیتی و آنالیز شده توسط (قاسیمی، ۱۳۷۱)، نماد (•) معرف نمونه های آنالیز شده توسط (مینایی، ۱۳۸۹) و نماد (*) معرف نمونه های آنالیز شده توسط (پناه دار، ۱۳۹۰) می باشد.

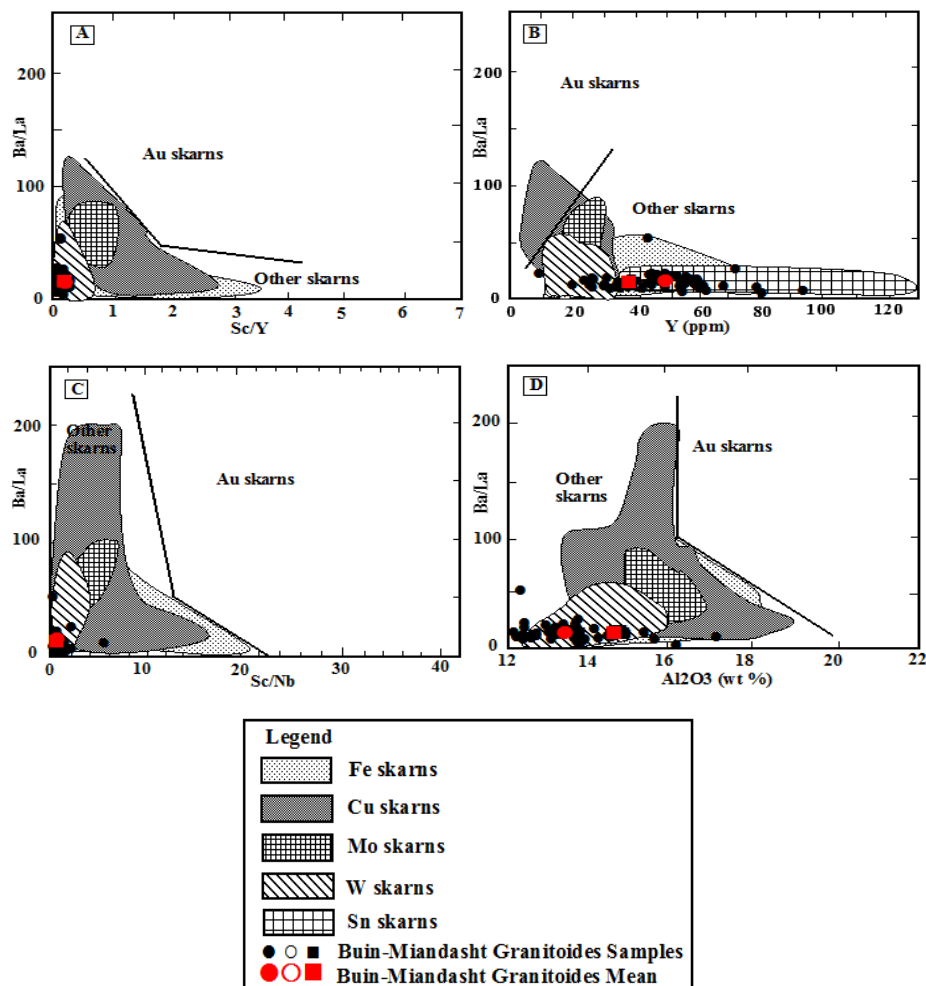


شکل ۸- نمودارهای متغیر هارکر گرانیتوئیدهای اسکارن مورد بررسی در مقایسه با گرانیتوئیدهای اسکارنی دنیا. میانگین ترکیب توده های مرتبط با اسکارن، از Meinert (۱۹۵۵) اقتباس شده است.

مقایسه عناصر جزئی

با توجه به دگرسان بودن منطقه و اینکه بین میزان عناصر جزئی توده نفوذی و کانسارسازی رابطه ای وجود دارد محتوای عناصر جزئی آن ها نیز مورد مطالعه قرار گرفت. برای مثال از طریق اندازه گیری میزان عناصری مثل Rb و V و Sc می توان به نوع کانسارسازی اسکارن پی برد. Rb به دلیل حضور در

آلکالی فلدسبارها و میکا در ماغمای تفریق یافته فراوانی بیشتری داشته و Sc به علت حضور در پیروکسن در ماغمای تفریق نیافته فراوانی بیشتری دارد. در سنگ های ماغمایی با پیشرفت فرآیند تبلور و تفریق، میزان Rb در ماغما افزایش می یابد. اسکارن های آهن در همراهی با ماغماهای تفریق نیافته و اسکارن های قلع در همراهی با ماغمای کاملاً تفریق یافته مشاهده می شوند. در نمودار Ni در برابر V الگوی پراکندگی نمونه ها در محدوده گرانیتوئیدهای همراه با اسکارن های مولیبدن و تنگستن قرار می گیرند (شکل ۸F). سنگ های آذرین مرتبط با اسکارن های طلا، آهن و مس محتوى بالاترین مقدار Sr و V در مقایسه با اسکارن های قلع و تنگستن می باشند و اسکارن های قلع و تنگستن از عناصر Rb , Ce , Nb , Ta , La غنی هستند. اسکارن های مولیبدن از نظر میزان عناصر جزئی حد واسط بین این دو گروه قرار دارند (Ray et al., 1995). اگرچه توده های نفوذی مرتبط با اسکارن های طلا، آهن و مس از نظر عناصر اصلی مشابه هستند ولی توده های نفوذی همراه با اسکارن های طلا از نظر میزان برخی از عناصر جزئی همچون Rb و Ba , La , Nb , Sc دارای اختلاف می باشند. نفوذی های همراه با اسکارن های طلا دارای بیشترین مقدار Sc/Nb , Ba/La و کمترین مقدار Rb (شکل ۹) می باشند (Ray et al., 1995). بر اساس نمودار Sc/Y الگوی پراکندگی نمونه ها و میانگین آنها در محدوده اسکارن های تنگستن و قلع قرار می گیرند (شکل ۹A). در نمودار Ba/La در برابر Y نمونه ها و میانگین آنها در محدوده اسکارن های تنگستن و قلع می باشند (شکل ۹B). در نمودار Sc/Nb در برابر Ba/La نمونه ها دارای کمترین مقدار بوده و در محدوده اسکارن های تنگستن و قلع قرار می گیرند (شکل ۹C). در نمودار Ba/La در برابر Al_2O_3 نمونه ها نسبت به دیگر اسکارن ها دارای کمترین مقدار بوده و در محدوده اسکارن های تنگستن و قلع قرار می گیرند (شکل ۹D).



شکل ۹- نمودارهای عناصر جزئی گرانیت‌های اسکارن مورد بررسی در مقایسه با گرانیت‌های اسکارنی دنیا. میانگین ترکیب توده های مرتبط با اسکارن، از Meinert (۱۹۵۵) اقتباس شده است.

فصل چارم

نیچہ کسیری و منبع

نتیجه گیری

بر اساس مطالعات انجام شده بر روی سنگ های گرانیتoidی منطقه مورد مطالعه و با کمک از داده های برگرفته از یوسفی (۱۳۹۴)، ترکیب سنگ شناختی توده های نفوذی منطقه شامل گرانیت پورفیری (مونزو گرانیت - سینو گرانیت)، گرانودیوریت و گابرو - دیوریت می باشد. این توده های نفوذی از نظر شاخص اشباع آلومین دارای ماهیت متاآلومین تا اندکی پرآلومین و از نظر میزان پتسیم دارای پتسیم بالا و بیشتر دارای ماهیت کالکوآلکالن بوده است. گرانیت های منطقه با توجه به ویژگی های ژئوشیمیایی دارای ویژگی های گرانیت های نوع I هستند. بر اساس نمودارهای ژئوشیمیایی، گرانیتoidهای منطقه مربوط به محیط ژئوتکتونیکی بعد از کوهزایی و همزمان با برخورد می باشند. این توده گرانیتoidی سنگ های آهکی منطقه را قطع نموده است و باعث تشکیل اسکارن با گسترش محدود شده است. از لحاظ سنگ شناسی اسکارن مورد مطالعه از نوع درون اسکارن با مجموعه کانی های، سه نسل گارنت، ولستونیت، کلینوپیروکسن، اپیدوت، کلسیت، کوارتز، اسفن و فلدسپات پتسیم و برون اسکارن با مجموعه کانی های، وزوویانیت، گارنت، ولستونیت، کلینوپیروکسن، ترمولیت اکتینولیت و کلسیت می باشد. انواع رخساره های دگرگونی و پاراژنز کانی ها ولستونیت اسکارن، گارنت کلینوپیروکسن اسکارن و ترمولیت اکتینولیت اپیدوت- اسکارن در سنگ های اسکارنی منطقه تشخیص داده شده است. طبق بررسی های انجام شده می توان مراحل شکل گیری اسکارن منطقه را به صورت زیر خلاصه نمود: ۱- جایگیری توده نفوذی در سنگ میزبان کربناتی و دگرسانی متوسماتیک پیشرونده سنگ میزبان، تشکیل اسکارنوئید. ۲- جدایش سیال گرمابی داغ و نفوذ آن درون شکستگی ها و تشکیل کانی های متاسماتیک بدون آب. ۳- تشکیل کانی های سیلیکاته آبدار دما پایین و اکسیدی، دگرسانی برگشتی. و نهایتا واکنش های کربناته شدن و تبلور کلسیت.

بر اساس مقایسه الگوی عناصر اصلی گرانیتoidهای منطقه مورد مطالعه با سایر گرانیتoidهای اسکارنی شناخته شده دنیا این گرانیتoidها بیشتر با گرانیتoidهای مرتبط با اسکارن های تنگستان و قلع و مولیبدن انطباق نشان می دهند.

منابع:

- افتخارنژاد، ج، 1539، تفکیک بخش های مختلف ایران از نظر وضع ساختمانی در ارتباط با حوضه های رسوی، -
19. نشریه انجمن نفت، شماره 82، صفحه 1.
- تیله و همکاران، 1968، شرح نقشه گلپایگان به مقیاس 1:250000، سازمان زمین شناسی کشور.
- غلامی فرد، م، 1589، مطالعات زمین شناسی و پتانسیل اقتصادی اسکارنهای بوئین میاندشت (روستای میرآباد)، پایان نامه کارشناسی ارشد، گروه زمین شناسی، دانشگاه آزاد خوراسگان، 153 صفحه.
- درویش زاده، ع، 1585، زمین شناسی ایران، انتشارات امیر کبیر، 859 صفحه.
- رشیدنژاد عمران، ن، ا، 1581، حوادث دگرگونی و مagmaی در منطقه معدنی طلای موته شمال خاوری- گلپایگان، پایان نامه دکتری، دانشگاه تربیت مدرس، 425 صفحه.
- رشیدنژاد عمران، ن، 2552، پترولوزی و ژئوشیمی سنگ های نفوذی و رسوی متاولکانیک در ناحیه موته با- نگرشی ویژه بر زنر و کانه زایی طلا، جنوب دلیجان، جنوب غرب تهران، پایان نامه دکتری، دانشگاه تربیت مدرس، 425 صفحه.
- شریفی، م، 1576، زمین شناسی و پترولوزی سنگ های دگرگونی و آذرین منطقه شمال شرق گلپایگان، پایان- نامه کارشناسی ارشد، گروه زمین شناسی، دانشگاه اصفهان، 238 صفحه.
- شریفی، م، 1586، بررسی مagmaتیسم آکالان در شمال گلپایگان، پایان نامه دکتری، گروه زمین شناسی، دانشگاه- اصفهان، 165 صفحه.
- قاسمی، ح، 1571، بررسی پترولوزی و زمین شناسی سنگ های آذرین نفوذی منطقه بوئین و میاندشت، پایان- نامه کارشناسی ارشد، گروه زمین شناسی، دانشگاه تهران، 259 صفحه.
- قریانی، م، 1581، دیباچه ای بر زمین شناسی اقتصادی ایران، پایگاه ملی داده های علوم زمین کشور.
- قلمقاش، ج، 1581، توده های گرانیتوئیدی ایران، انتشارات سازمان زمین شناسی کشور، 144 صفحه.
- کریم پور، م، ح، و سعادت، س، 1581، زمین شناسی اقتصادی کاربردی (ویرایش جدید)، نشر مشهد، 335 صفحه.
- کریمی، س، 1591، پترولوزی سنگهای دگرگونی در پهنه سندنج سیرجان شمالی (مته الیگودرز)، پایان نامه-- دکتری، گروه زمین شناسی، دانشگاه اصفهان، 212 صفحه.
- محلج، م، افتخارنژاد، ج، 1571، نقشه زمین شناسی 1:155555 گلپایگان تهیه شده توسط سازمان زمین- شناسی کشور.
- محلج، م، و سهندی، م، ر، 1578، تکامل تکتونیکی پهنه سندنج سیرجان در نیمه شمال باختری، معرفی زیر- 51 پهنه های جدید در آن، علوم زمین، سال هشتم، شماره 28. 52 صفحه 49.
- معین وزیری، ح، 1577، دیباچه ای بر مagmaتیسم در ایران، انتشارات دانشگاه تربیت معلم، تهران، 425 صفحه.
- مکی زاده، م، ب، 1578، مطالعات کانی شناسی و پترولوزیکی اسکارن های ایران مرکزی (استان یزد)، پایان نامه- دکتری، گروه زمین شناسی، دانشگاه شهید بهشتی، 188 صفحه.
- مینایی، ا، 1589، بررسی پترولوزی و ژئوشیمیایی مونزو سینوگرانیت های پورفیروئیدی بوئین میاندشت-- (میرآباد چهل خانه) با نگرشی به تکتونیک منطقه، پایان نامه کارشناسی ارشد، پژوهشکده سازمان زمین شناسی- کشور، تهران، 193 صفحه.
- نبوی، م، ح، 1533، دیباچه ای بر زمین شناسی ایران، سازمان زمین شناسی و اکتشافات معدنی کشور، 159 صفحه.
- ولی زاده، م، و، 1571، پترولوزی تجربی و تکتونیک کلی، مؤسسه چاپ و انتشارات دانشگاه تهران، جلد اول، 487 صفحه و جلد دوم (آندزیت ها و گرانیت ها)، 367 صفحه.

- هوشمندزاده، ع. 1537، بررسی فازهای تغییر شکل و دگرگونی در زون شهرکرد سنندج، نشریه کانون - مهندسین ایران، شماره 39
- هوشمندزاده، ع. 1975، فازهای تغییر شکل سنگ های دگرگونه منطقه شهرکرد سنندج، نشریه کانون - صفحه 7، مهندسین ایران، شماره 39
- هوشمندزاده، ع. سهیلی، م. و حمدی، ب. 1569، شرح نقشه زمین شناسی چهار گوش اقلید، مقیاس 1:235555
- یوسفی، ا.، ۱۳۹۴، مطالعات کانی شناسی و اکتشافات معدنی کشور، سازمان زمین شناسی و پتروژنی اسکارن میرآباد، شرق بوئین میاندشت (زون- سنندج سیرجان)، پایان نامه کارشناسی ارشد، دانشگاه اصفهان
- Agard, P., Omrani, J., Jolivet, L., and Moutherau, F., 2005, Convergence history across Zagros (Iran): constraints from collisional and earlier deformation. International Journal of Earth Science, 94: 401- 419.
- Alavi, M., 1994, Tectonic of the Zagros orogenic belt of Iran, new data and interpretation, Tectnophysics, vol. 229, p. 211- 238.
- Barnes, H. L., 1979, Geochemistry of hydrothermal ore deposite, 2nd Ed, John wiley and sons, 798p.
- Berberian, B., 1998, A review of the relationships between granitoid types, their origins and their geodynamic environments, Lithos, 46, pp. 605- 626.
- Berberian, M., 1972, A brief note on early kimmerian orogeny and high grad metamorphism in Sanandaj- Sirjan belt, Iran, Geological Survey of Iran, internal report.
- Berberian, M., and King, G. C. P., 1981, Towards a paleogeography and tectonic evolution of Iran. Canadian. Journal of Earth Sciense, 18: 210- 265.
- Berberian, M., Berberian, F., 1981, Tectono- plutonic episode in Iran. In Zagros- Hindu Kush- Himalya Geodynamic Evolution. Geodynamics series, vol. 3, Copyright by American Geophysical Union.
- Berberian, M., Nogol Sadat, M., 1974, Preliminary explanatory text of the Metamorphic Complexes and the tectonics of the area (two geological maps 1:100000, from the Hajiabad, quadrangle Map) Geological Survey of Iran, internal report, 60 p.
- Calagari, A. A., and HosseinZadeh, G., 2006, The mineralogy of copper- bearing skarn to the east of the Sungun- Chay river, East- Azarbaidjan, Iran, Journal of Asian Earth Science, v. 28, p. 423- 438.
- Einaudi, M. T., 1982, Introduction- terminology, classification and composition of skarn deposits. Economic Geology, 22: 120- 251.
- Einaudi, M. T., Burt,D. M., 1982, Introduction, terminology, classification and composition of skarn deposits, Economic Geology, v. 77, pp. 745 - 753.
- Einaudi, M. T., Meinert, L. D., and Newberry, R. J. (1981) Skarn deposits. Economic Geology, 75: 317-391.
- Gieze, P., Markis, J., Akashe, B., Rower, P., Letz, H., and Mostanpour, M., 1984, The crustal structure in southern Iran, drived from seismic explosion data. NJb. Geo. Palant, Abh. pp. 230- 243.
- Grammatopoulos, T. A., Clark, A. H., 2006, A comparative study of wollastonite skarn genesis in the Central metasedimentary belt, Southeastern Ontario, Canada, Ore Geology Reviews, 29: 146- 161.
- Hochella, M. F., Liou, J. G., Keskinen, M. J., and Kim. H. S., 1982, Synthesis and stability relations of magnesium Idocrase, Economic Geology, v. 17, pp. 798 – 808.
- Holland, T. J. B., Powell, R., 1990, An enlarged and updated internally consistent thermodynamic dataset with uncertainties and correlations The system K2O – Na2O – CaO – MgO – MnO – FeO – Fe2O3 – Al2O3 – TiO2 – SiO2 – C – H2 – O2, Metamorphic Geology, v. 8, pp. 89 - 124.

- Meinert L. D. (1995) Compositional variation of igneous rocks associated with skarn deposits- chemical evidence for a genetic connection between petrogenesis and mineralization, Mineralogical Association of Canada. Short Course Series, 23: 401-418.
- Meinert, L. D., 1987, Skarn zonation and fluid evolution in the Groundhog mine, central mining district, New Mexico, Economic Geology, v. 82, pp. 523- 545.
- Meinert, L. D., 1992, Skarns and skarn deposits, Geoscience Canada, v. 19, pp. 145 - 162.
- Middlemost, E. A. K., 1994, Naming materials in the magma igneous rocks system. Earth Science Review, 37: 215- 224.
- Misra, K. C., 2000, Understanding mineral deposits Kluwer Academic Pub., 845 p.
- Mohajjal, M., Structure and tectonic evolution of Paleozoic- Mezozoic rock, Sanandaj- Sirjan zone, western Iran, Ph.D. Thesis, University of Wollangong Australia (unpublished).
- Moritz, R., Ghazban, F., and Singer, B. S., 2006, Eocen gold ore formation at Muteh, saud- si Tectonic zone, Western Iran: A result of late- stage extension and exhumation of metamorphic basement rocks within the zagros orogeny. Economic Geology, v. 101, pp. 1497- 1524.
- Nadimi, A., and Nadimi, H., 2008, Exhumation of old rocks during the Zagros Collision in the northwestern part of the Zagros mountains, Iran. The Geological Society of America, 105- 122.
- Nakano, T., Yoshino, T., Shimazaki, H., and Shimizu, M., 1994, Pyroxene composition as an indicator in the classification of skarn deposits, Economic Geology, v. 80, pp. 1567- 1580.
- Robb, L., 2005, Introduction to ore- forming processes. Blackwell Pub., 373 p.
- Tahmasbi, Z., Castro, A., Khalili, M., Ahmadi Khalaji, A., and De La Rosa, J. D., 2010, Petrology and geochemical constraints on the origin of Astane pluton, Zagros orogenic belt, Iran. Journal of Asian Earth Science, 39: 81- 96.
- Taylor, S. R., and Peccerillo, A., 1976, Geochemistry of Eocen Calk- alkaline volcanic rocks from the Kastamoun area Northern Turkey, contribution to *Mineralogy and Petrology*. 58: 63- 81.

Abstract:

Skarns of SE of Aligudarz is located in North West of Isfahan and is a part of Sanandaj-Sirjan Zone. The combination of intrusive rocks includes granite porphyry (Monzogranite-syenogranite), granodiorite and diorite - gabbro. Most of these granitoides are related to the syn-collision and post-orogenic environments. This pluton intruded into the limestone host rocks (Paleozoic) and led to the formation of a limited occurrence of skarn and hornfels in the region. Based on field and petrographic studies, two main stages of skarnization (progressive and regressive) have been identified in this area. Progressive stage identified by anhydrous mineral assemblages (garnet, clinopyroxene and wollastonite). In retrograde stage, anhydrous silicate changed to hydrated calcium silicates (epidote, tremolite-actinolite, Vesuvianite) and eventually re-carbonate reactions occurs in response to CO₂ increasing. This event led to the crystallization of calcite. Comparing the major elements patterns of the studied granitoides with other known skarn granitoides of the world, showing conformity of studied granitoids with granitoides associated with tungsten, molybdenum and tin skarns.